

# 저전력, 저잡음, 넓은 동적범위의 바이오임피던스 판독회로 설계

손현우

경상국립대학교 IT공과대학 전자공학부

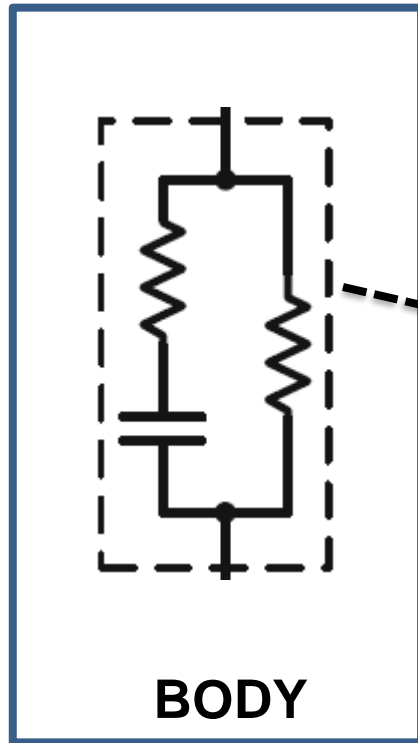
# Outline

- **Introduction of Bioimpedance (BioZ)**
- **BioZ Readout Overview**
- **Proposed BioZ Readout IC**
- **Measurement results**
- **Conclusions**

# Outline

- **Introduction of Bioimpedance (BioZ)**
- BioZ Readout Overview
- Proposed BioZ Readout IC
- Measurement results
- Conclusions

# Bioimpedance (BioZ)

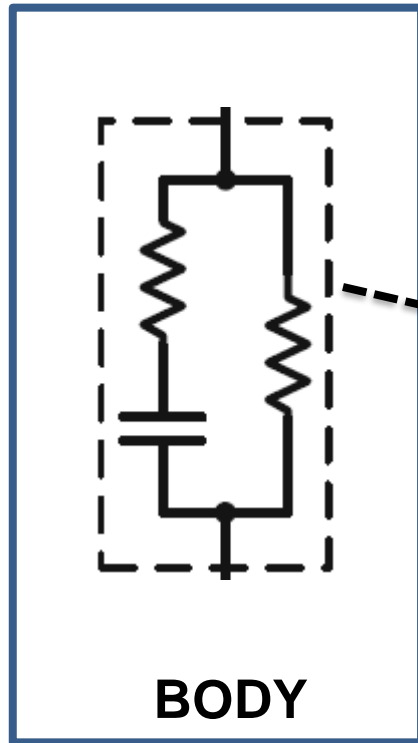


$$Z_{\text{BioZ}} (100\Omega\text{-}1\text{k}\Omega)^1 + \Delta Z_{\text{BioZ}} (0.1\Omega\text{-}10\Omega)^1$$

<sup>1</sup>S. Kim, ISSCC, 2013

- 인체: 조직 구성 (지방, 근육 등) 에 의해 영향 받는 전기 전도체

# Bioimpedance (BioZ)

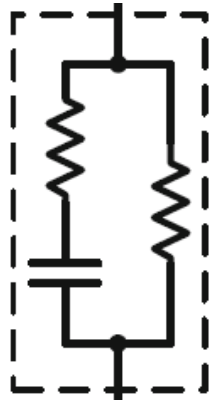


$$Z_{\text{BioZ}} (100\Omega-1\text{k}\Omega)^1 + \Delta Z_{\text{BioZ}} (0.1\Omega-10\Omega)^1$$

<sup>1</sup>S. Kim, ISSCC, 2013

- $Z_{\text{BioZ}}$ : 체성분 (지방, 근육, 뼈 등)
- $\Delta Z_{\text{BioZ}}$ : 호흡, 심장박동 → BioZ 변화

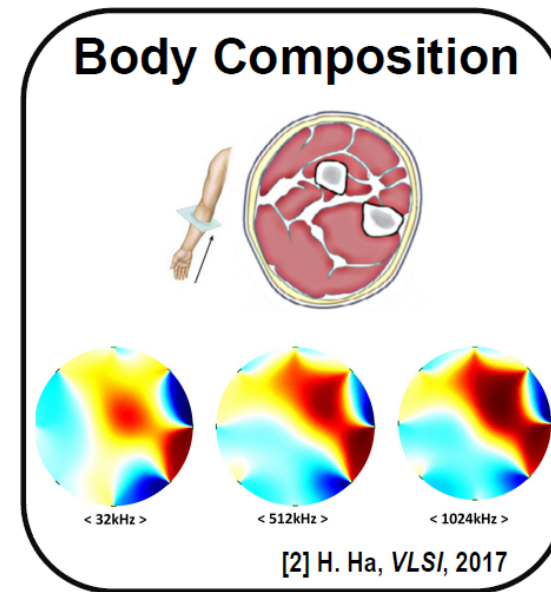
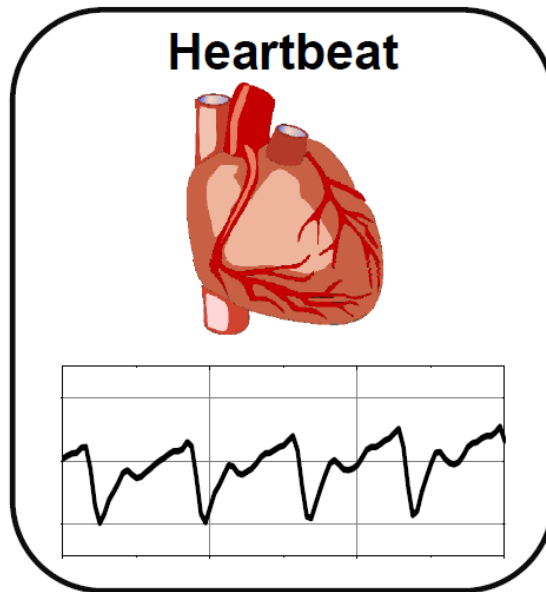
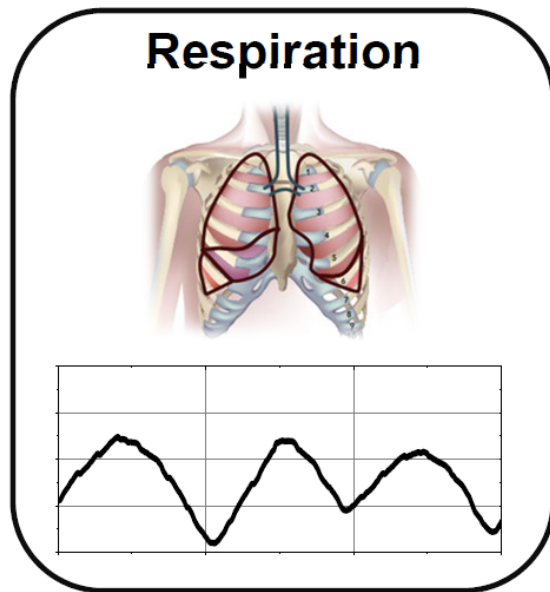
# BioZ Application



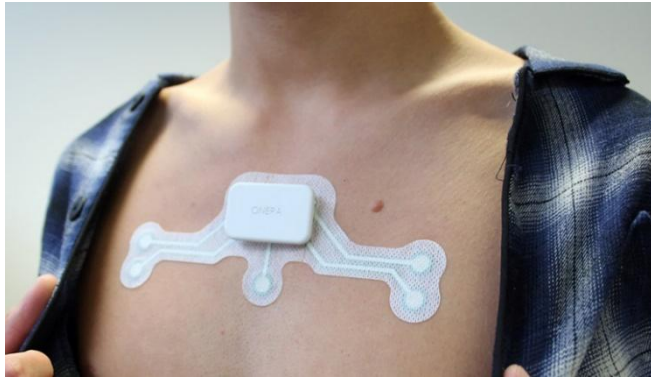
$$Z_{\text{BODY}} + \Delta Z_{\text{BODY}}$$

Vital sign : 호흡 or 심장박동 ( $< 100\text{m}\Omega$ , few- $\text{m}\Omega/\sqrt{\text{Hz}}$ )<sup>1</sup>

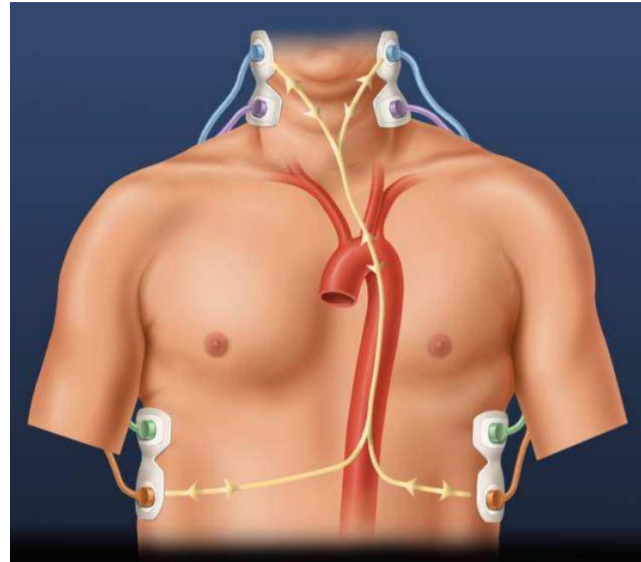
체성분 분석 or 전기임피던스영상법



# Motivations



**Onera BioZ Patch**



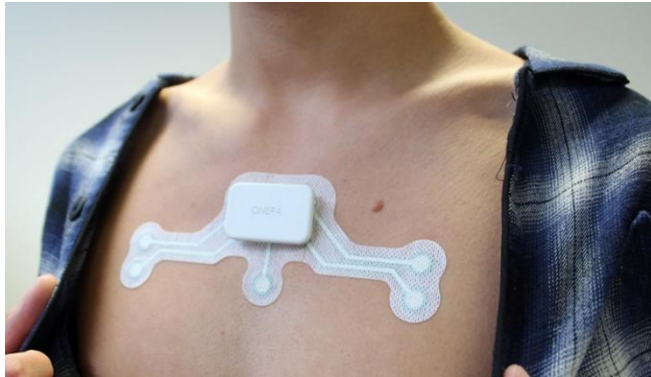
**BioZ® Cardio**



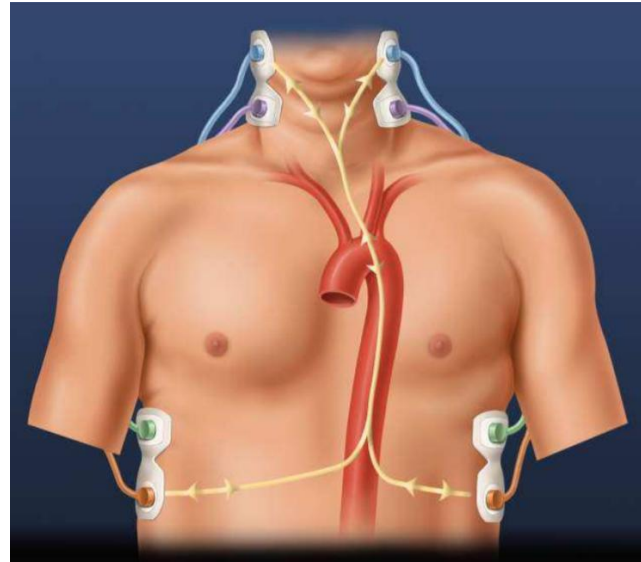
**AURA Device**

- **BioZ** 웨어러블 기기에서 널리 활용
- **BioZ** 변화는 **vital signals** 을 반영

# Motivations



Onera BioZ Patch



BioZ® Cardio



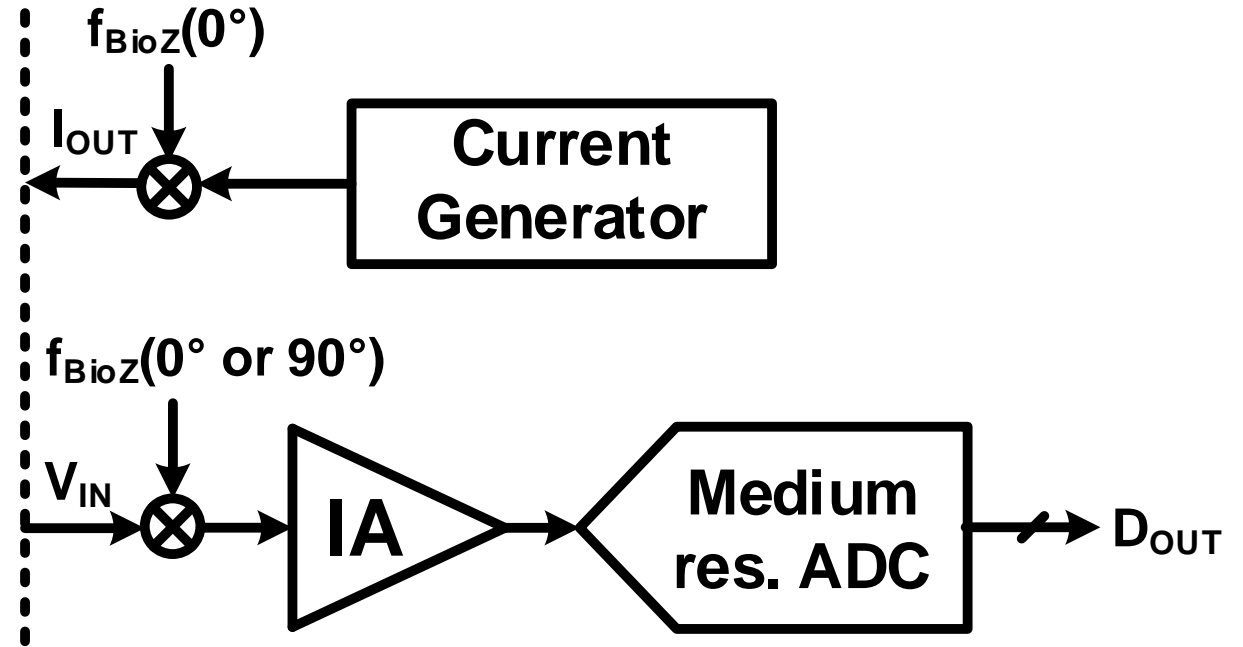
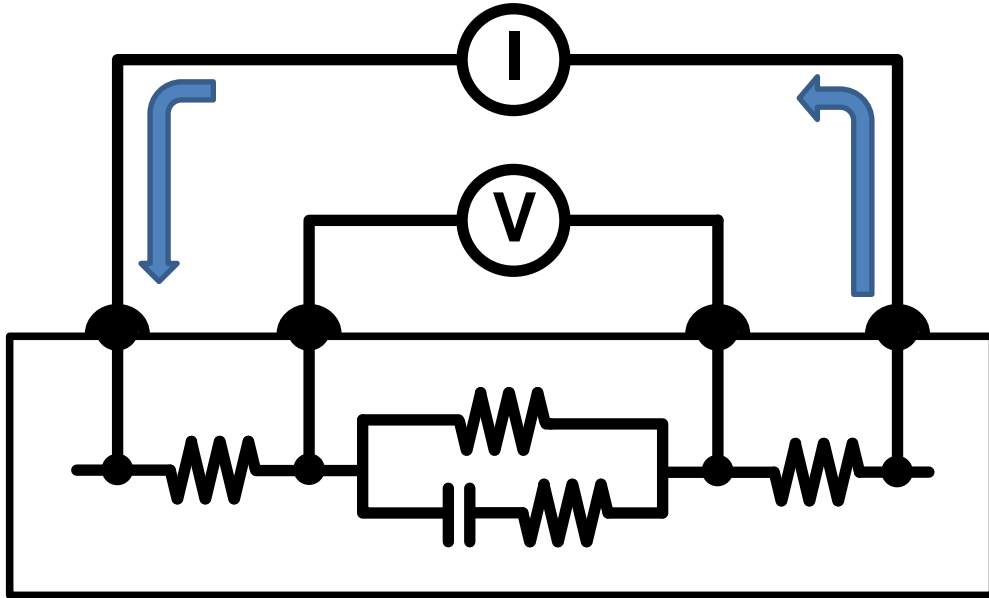
AURA Device

- 더 적은 전력소모 → 배터리 수명 연장
- 더 낮은 잡음 ( $1/f$  잡음) → 높은 **signal quality**

# Outline

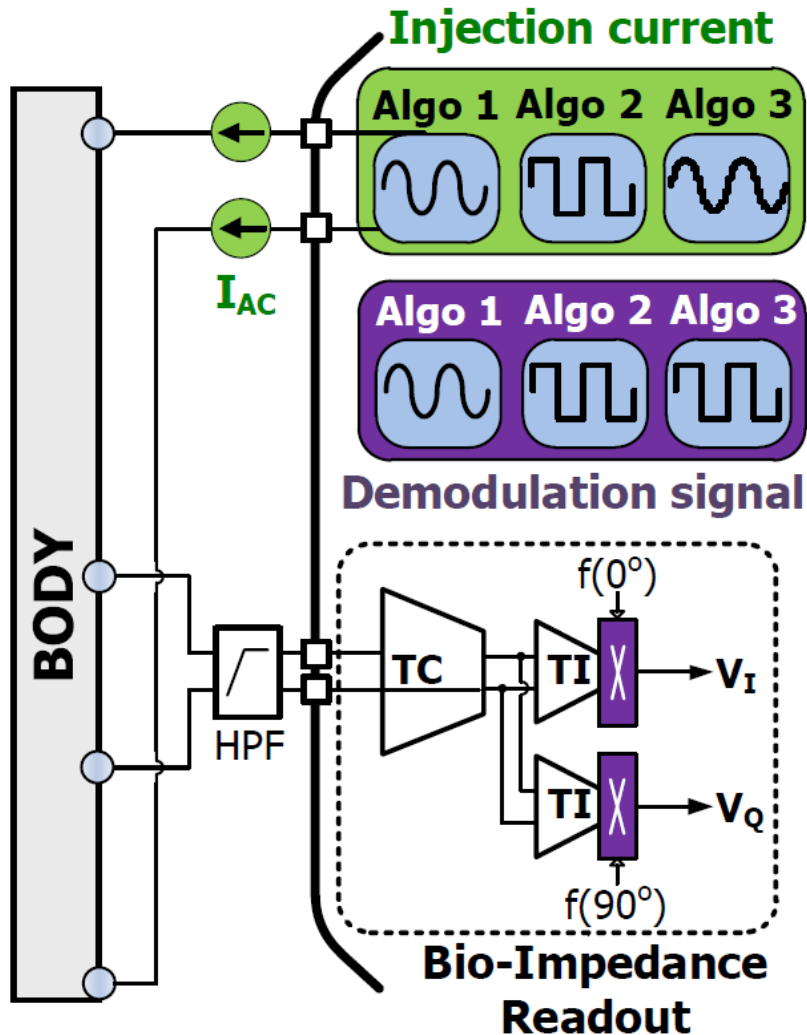
- Introduction of Bioimpedance (BioZ)
- **BioZ Readout Overview**
- Proposed BioZ Readout IC
- Measurement results
- Conclusions

# Conventional BioZ Measurement



- AC 전류 주입 후 전압 측정
- Instrumentation amplifier (IA) + ADC architecture

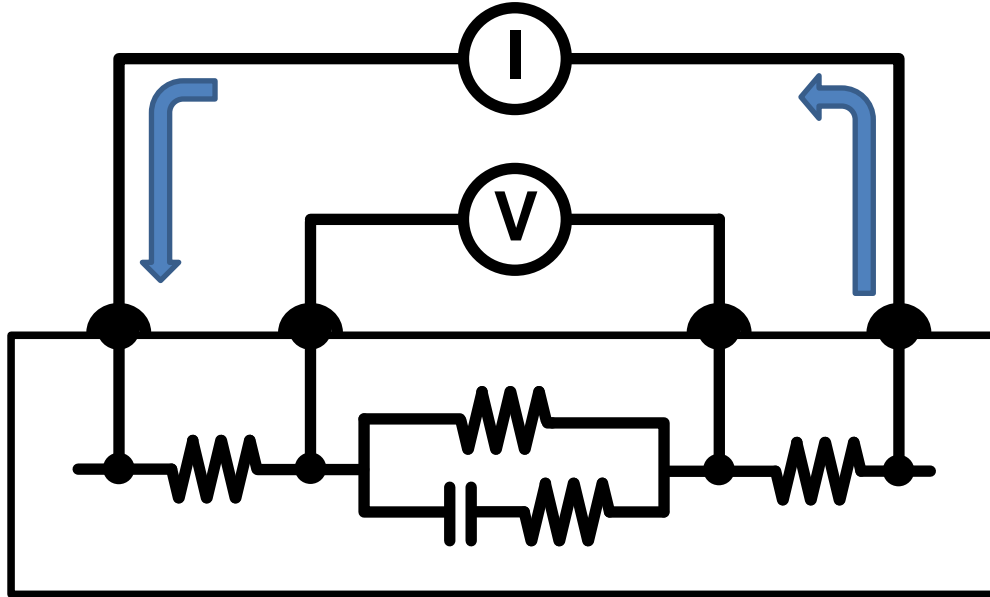
# Current Modulation for BioZ Measurement



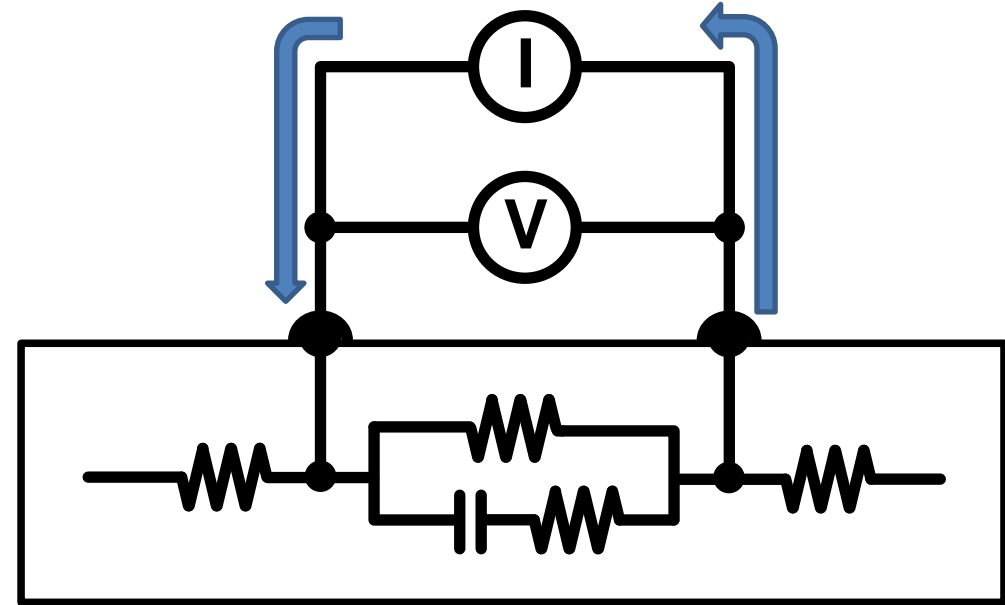
- **Pure sine wave**
  - ✓ 낮은 harmonic distortion
  - ✗ mWs of power
- **Square wave**
  - ✓  $\mu$ W-range power
  - ✓ 간단한 design
  - ✗ odd harmonics 으로 인한 오류
- 양자화된 **sine wave**
  - ✓  $\mu$ W-range power
  - ✓ harmonics에 의한 오류 감소
  - ✗ LUT, DAC, CTRL logic 필요

# Two-Electrode (2E) Setup

(a) 4E



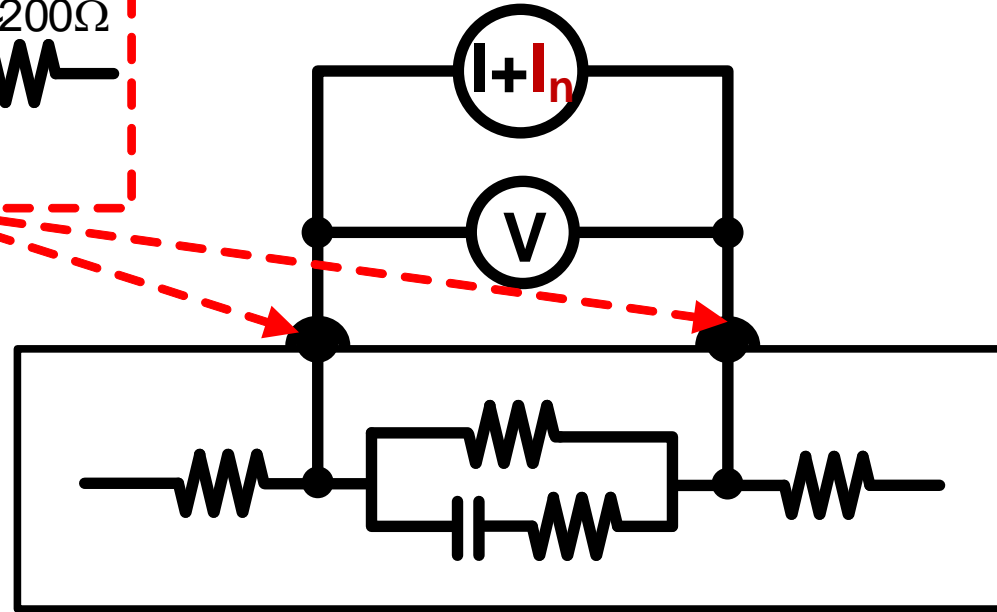
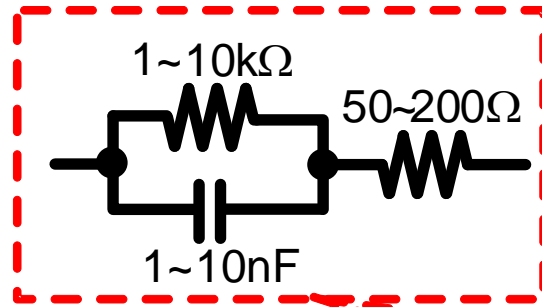
(b) 2E



- 두 개의 전극을 공유
- 절대적인  $\text{BioZ}$  ( $Z_{\text{BioZ}} + \Delta Z_{\text{BioZ}}$ ) 측정을 위한 4E setup
- 상대적인  $\text{BioZ}$  변화 ( $\Delta Z_{\text{BioZ}}$ ) 측정을 위해 2E setup 적용가능

# 2E BioZ Measurement

$$Z_{ELEC} \gg Z_{BioZ}$$

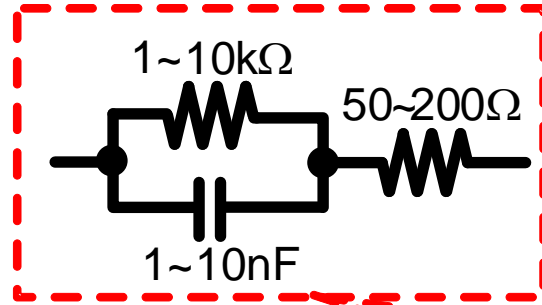


- ✓ 복잡도 감소
- ✓ 더 편안함
- ✓ 더 낮은 비용

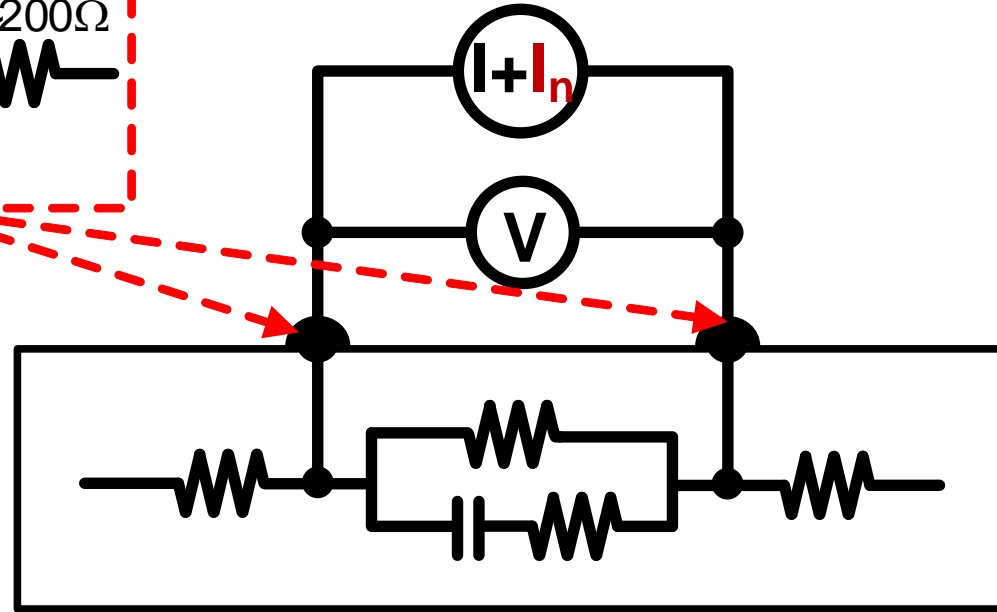
- x 큰 입력 임피던스 값 ( $\sim 20k\Omega$ ), 그러나  $\Delta Z_{BioZ}$ 는 호흡의 경우 수  $\Omega$  그리고 심장박동의 경우  $< 1 \Omega \rightarrow$  넓은 동적범위 필요
- x 큰  $Z_{ELEC}$  전류 잡음을 입력 전압 잡음으로 변환  $\rightarrow$  입력 잡음 증가

# 2E BioZ Measurement

$$Z_{ELEC} \gg Z_{BioZ}$$

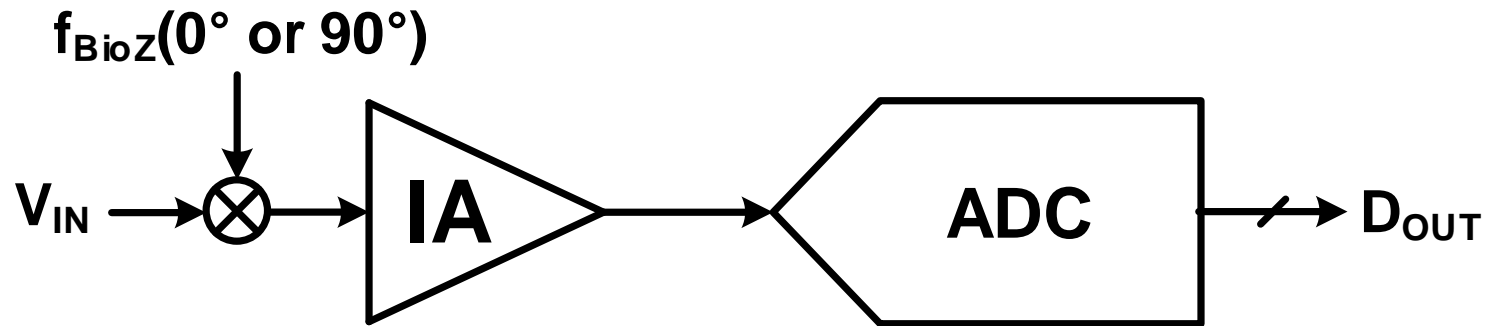


- ✓ 복잡도 감소
- ✓ 더 편안함
- ✓ 더 낮은 비용



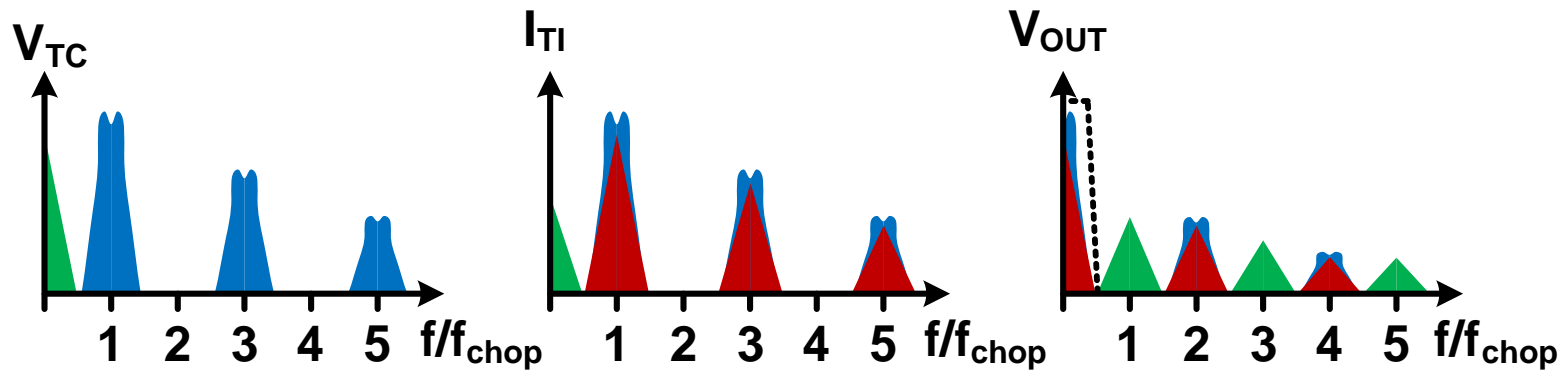
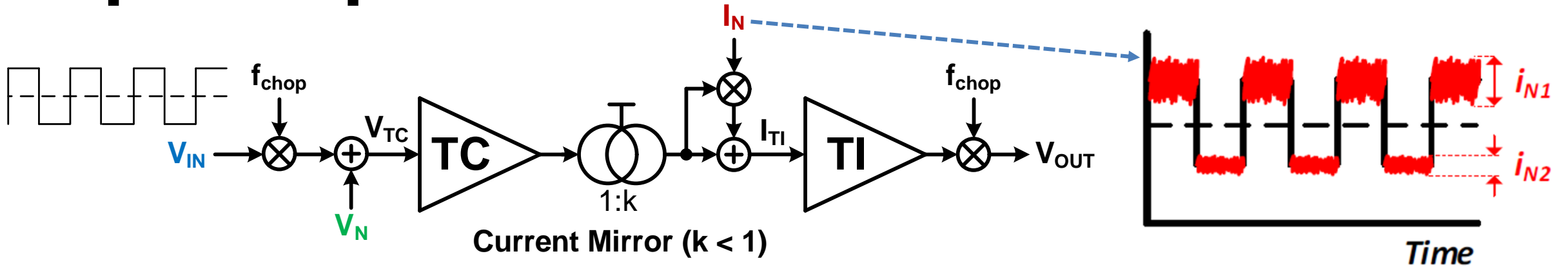
- 저전력, 저잡음, 넓은 동적범위를 갖는 판독회로 필요

# Conventional Approach w/ 2E Setup



- **고 이득 IA (> 40dB) + 중간 해상도의 ADC**
  - ✓ ADC의 잡음 필요 성능 완화
  - ✗ 큰  $Z_{ELEC}$  와 고 이득 IA로 인한 포화문제
- **저 이득 IA + 고 해상도의 ADC**
  - ✓ 고 해상도 ADC의 사용으로 포화문제 방지
  - ✗ IA 와 ADC 모두 저 잡음을 얻기 위해 높은 전력소모 필요

# Input-Dependent Noise



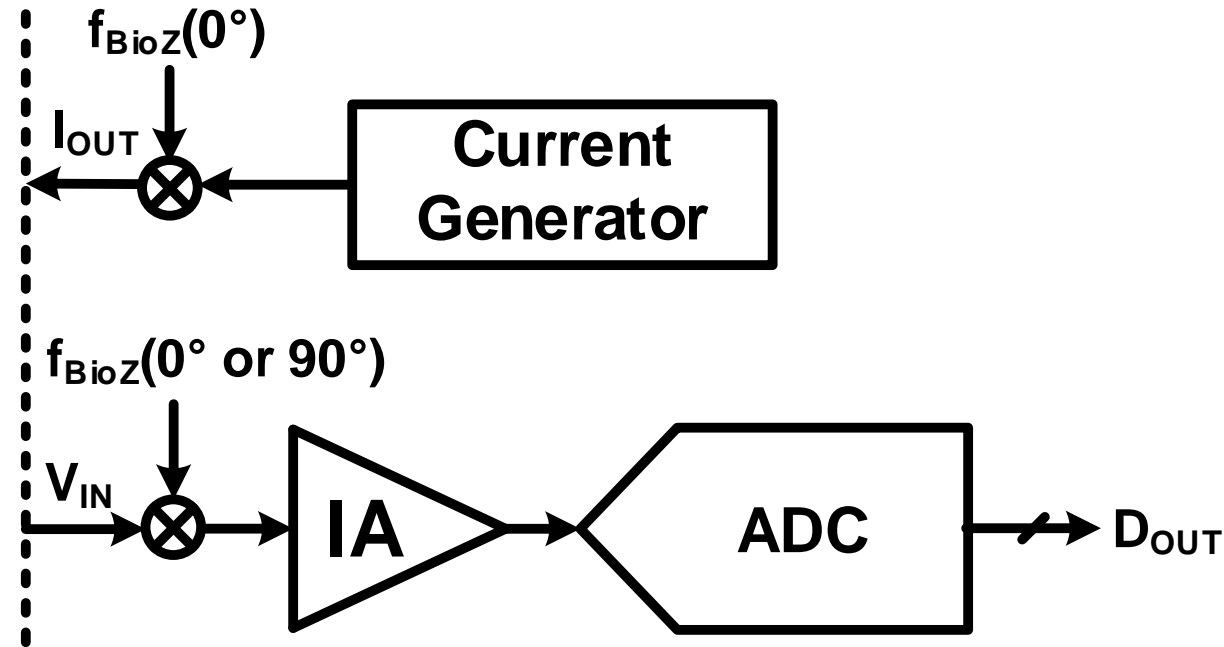
[H. Ha, SSC-L 2018]

- **Chopper-stabilized current-balancing IA**

- ✓ 저 잡음, 높은 전력 효율, 높은 입력 임피던스

- × 2E setup에서 큰 입력 전압으로 인한 잡음 변조로 SNR 제한

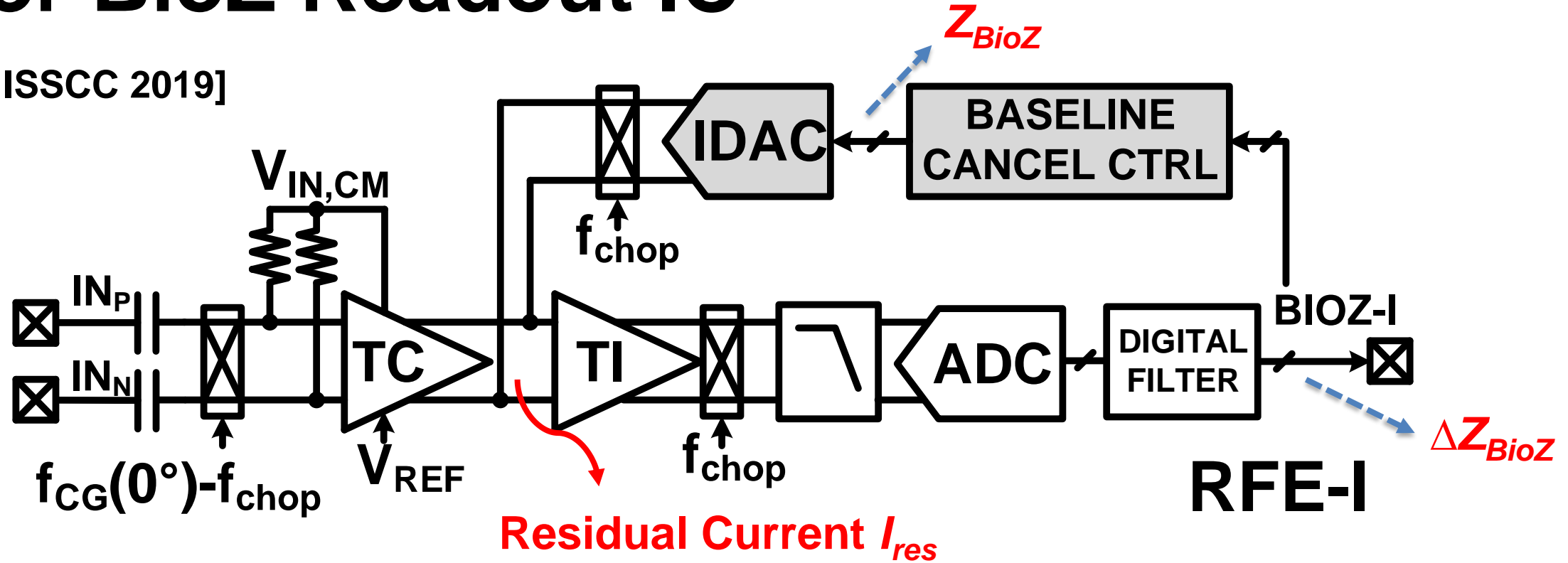
# Requirements for 2E BioZ Measurement



- 넓은 동적범위
- 저 잡음 current generator
- 저 잡음 (input-dependent noise &  $1/f$  noise) 판독회로

# Prior BioZ Readout IC

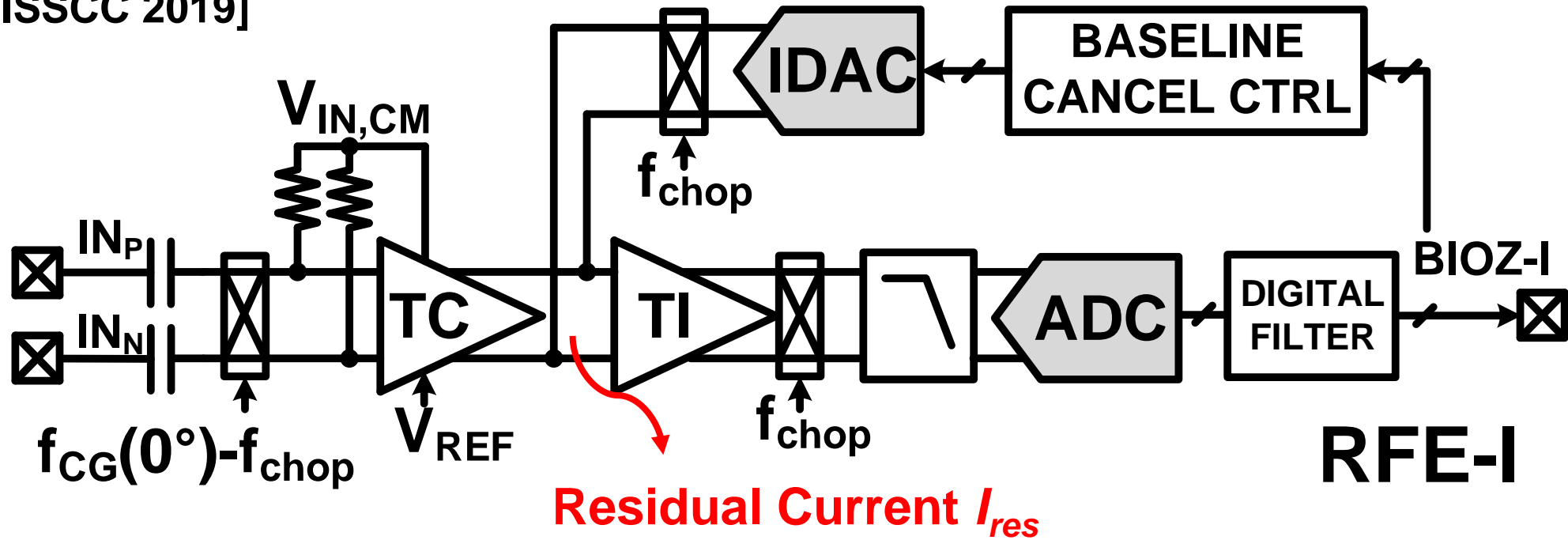
[H. Ha, ISSCC 2019]



- **baseline cancellation loop**을 이용한 IA + ADC 구조
  - ✓ coarse / fine 변환을 이용하여 포화없이 넓은 동적범위
  - ✓ correlation 을 이용하여  $I_{REF}$  잡음 상쇄 및 input-dependent noise 감소

# Prior BioZ Readout IC

[H. Ha, ISSCC 2019]

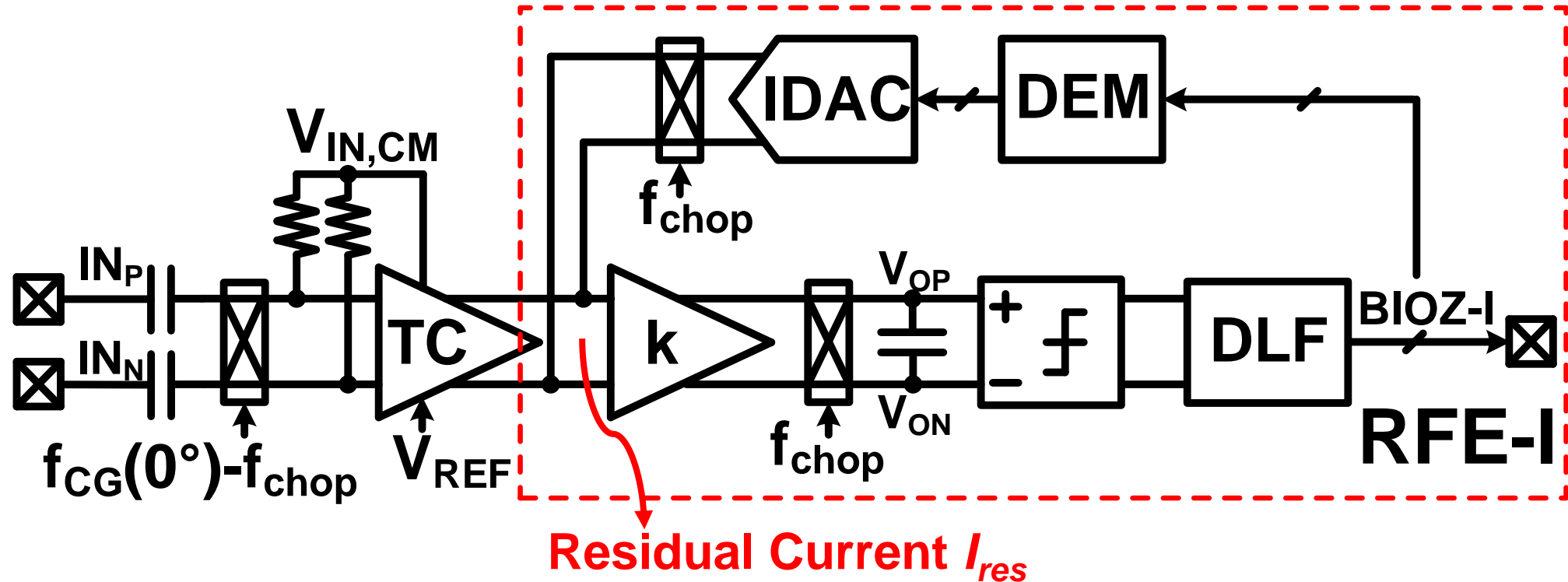


- × finite  $I_{RES}$  로 인한 잔여 input-dependent noise
- × coarse / fine 변환 사이의 gain mismatch
- × 느린 loop bandwidth ( $\sim 0.5s$ )

# Outline

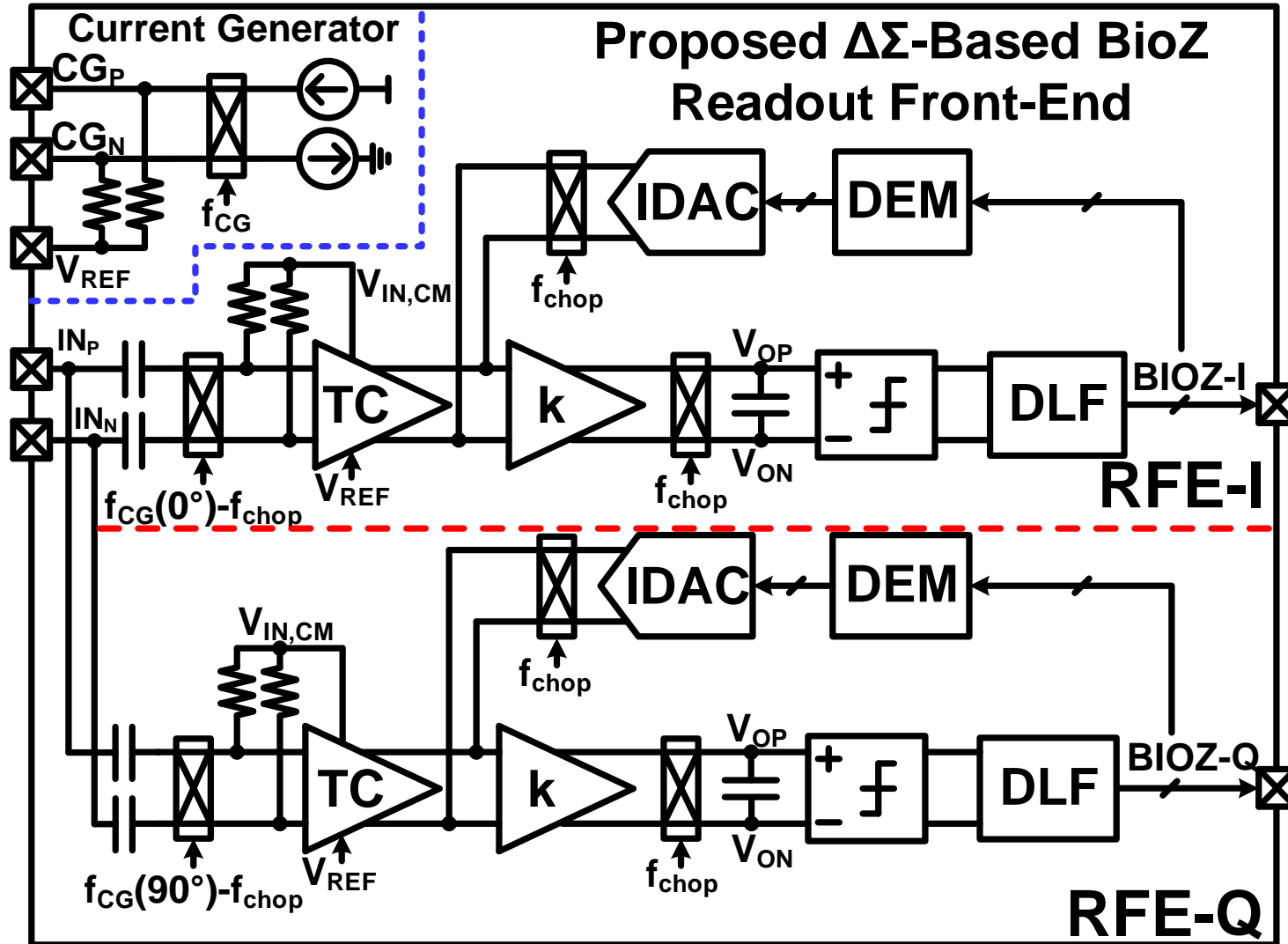
- Motivation
- BioZ Readout Overview
- **Proposed BioZ Readout IC**
- Measurement results
- Conclusions

# Proposed BioZ Readout IC (I-Phase)



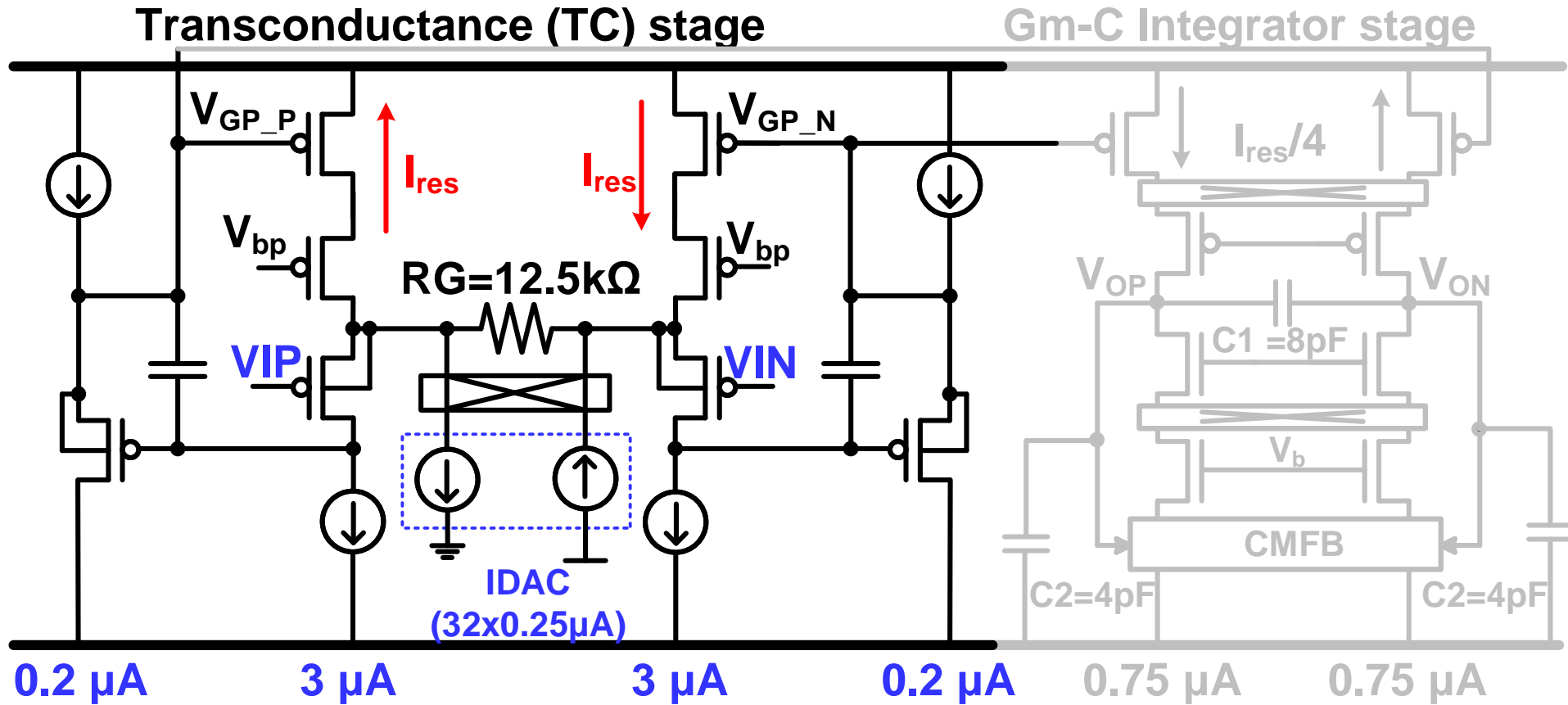
- ✓  $I_{res}$  최소화하기 위한 DLF을 이용한  $\Delta\Sigma$ 구조 → 더 낮은 input-dependent noise
- ✓ DEM을 적용한 하나의 DAC → 선형성 향상
- ✓ Continuous-time 1차 noise-shaping → 더 높은 SNQR & 에너지 효율
- ✓ CG & IDAC 에  $I_{REF}$  공유하여  $I_{REF}$  noise 상쇄

# System Diagram



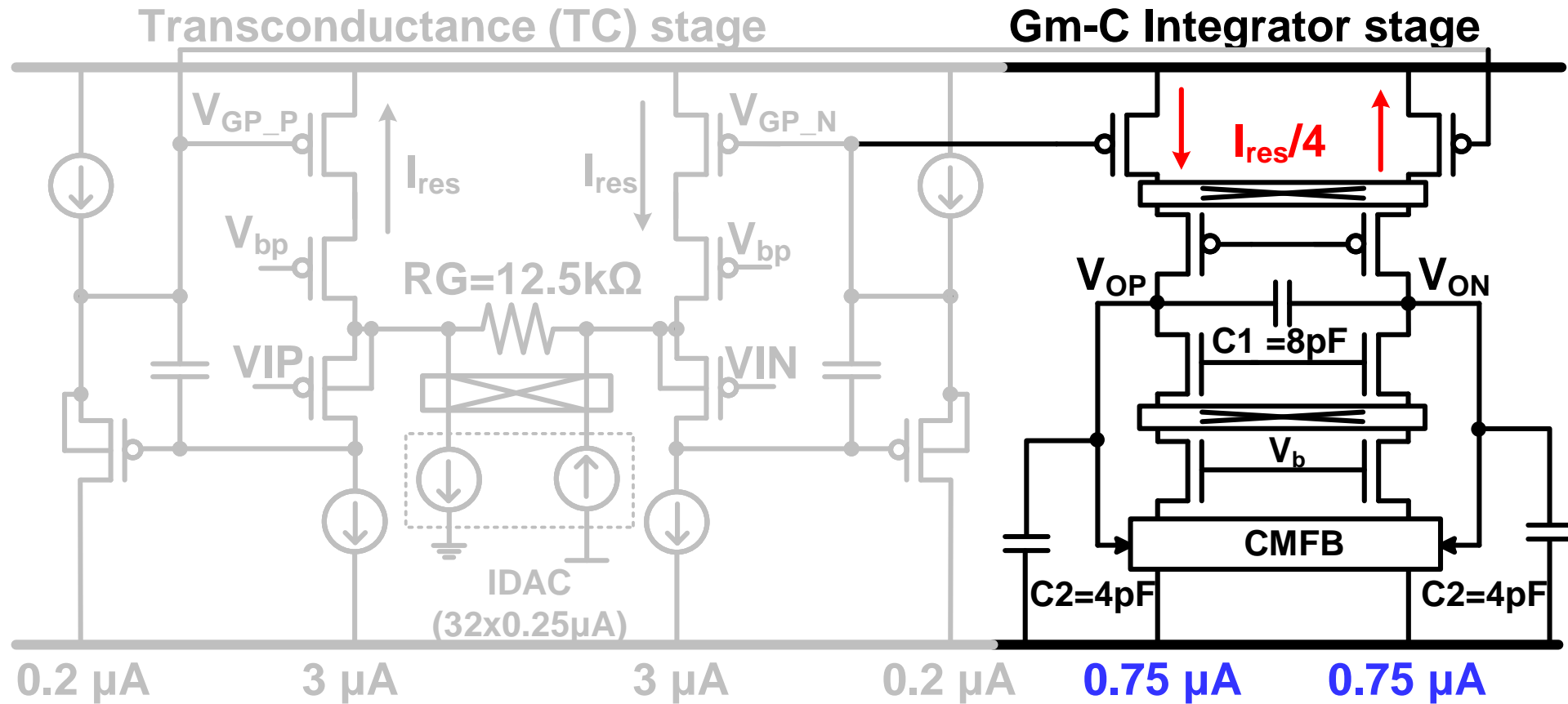
- $\Delta\Sigma$ 기반 토폴로지
- CG, IREF, IDAC에 DEM 적용
- DLF을 이용한 다중 비트 quantizer
- I & Q 측정

# TC (V-I Conversion)



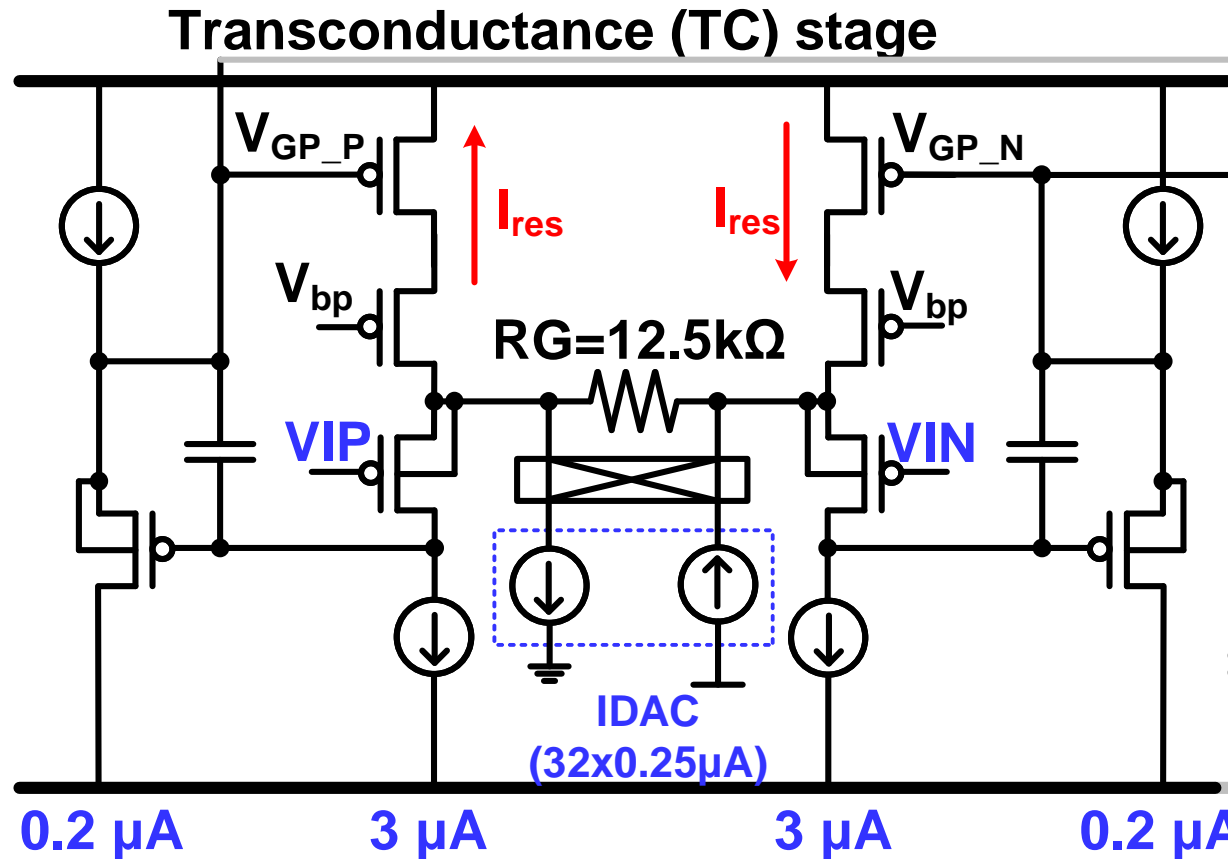
- 주된 열 잡음 (input pair and  $R_G$ )
- 최대 입력 신호 진폭:  $100\text{ mV}_{pk}$

# Gm-C Integrator



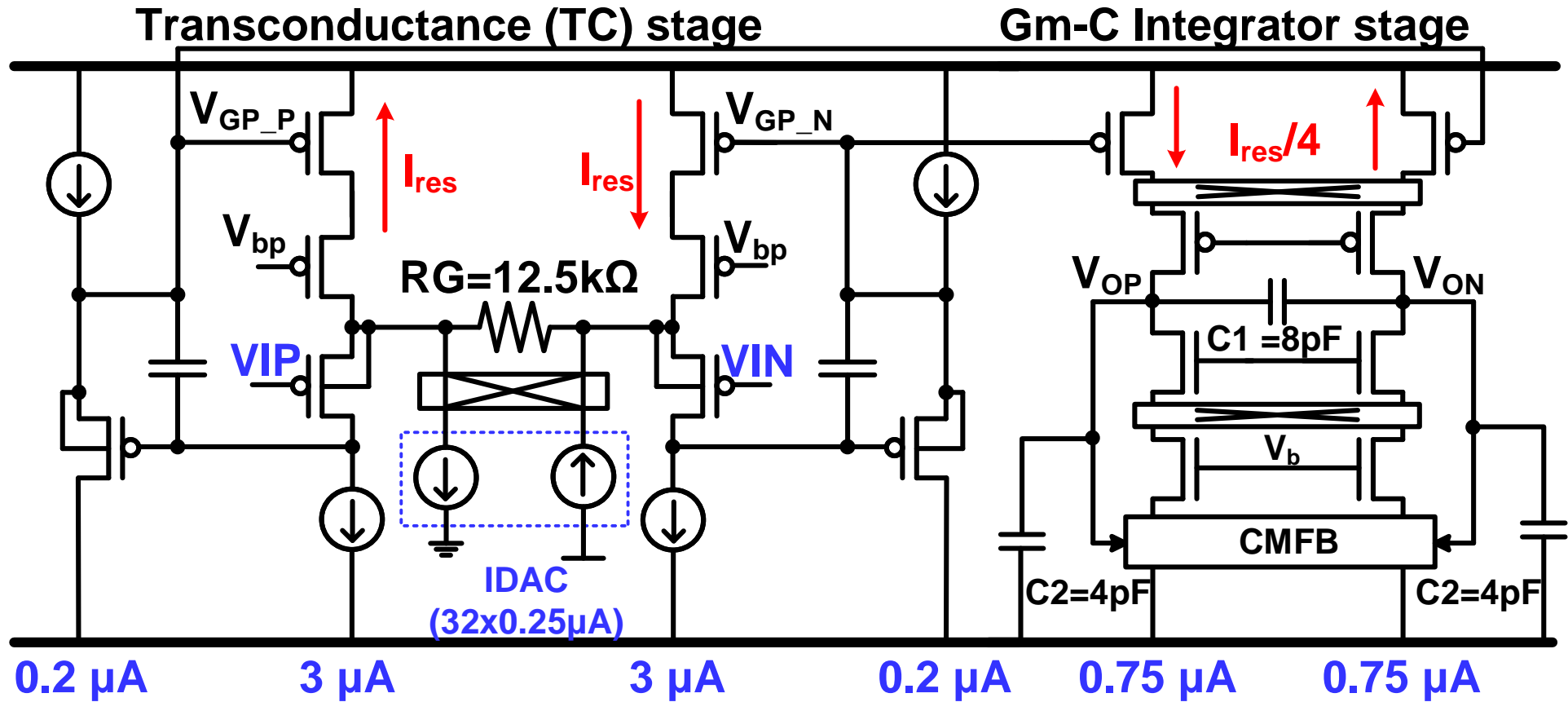
- 저전력을 위해  $\frac{1}{4} I_{RES}$  복사 및 Gm-C integrator

# TC Stage Stability



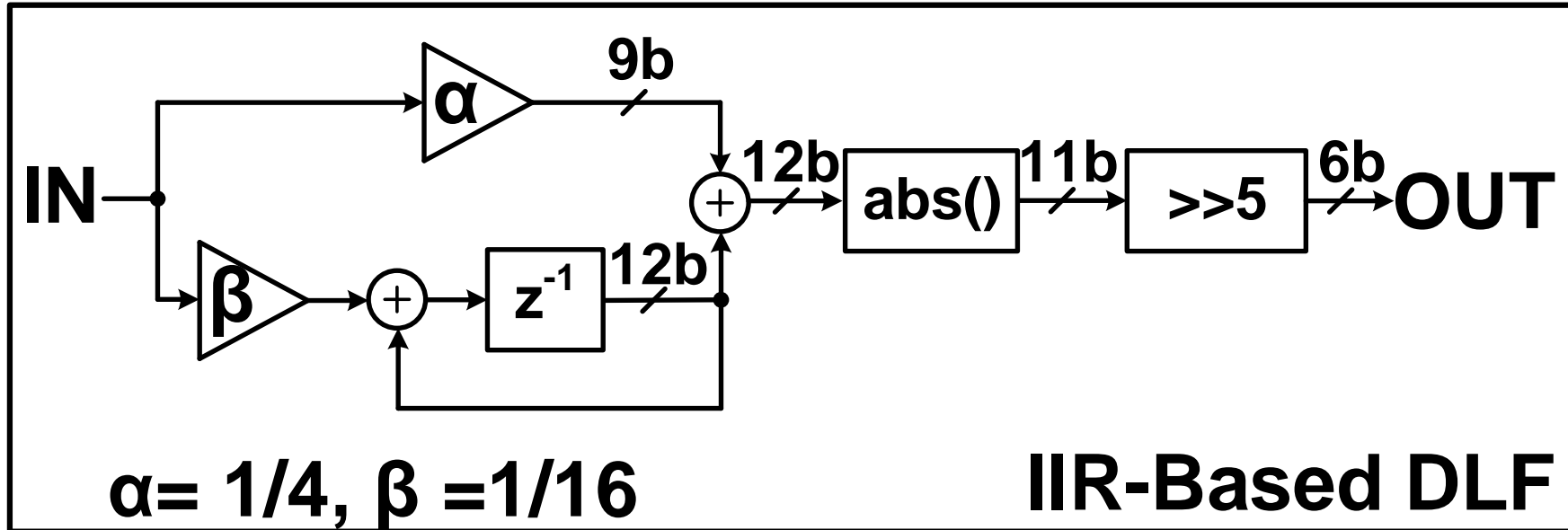
Corners	Loop gain	PM (°)
TT	122.8	60.09
FF	128.1	51.87
FS	125.7	64.16
SF	120.7	54.96
SS	118	64.7

# TC & Gm-C Integrator



- **~8  $\mu\text{A}$  under 0.9 V Supply**

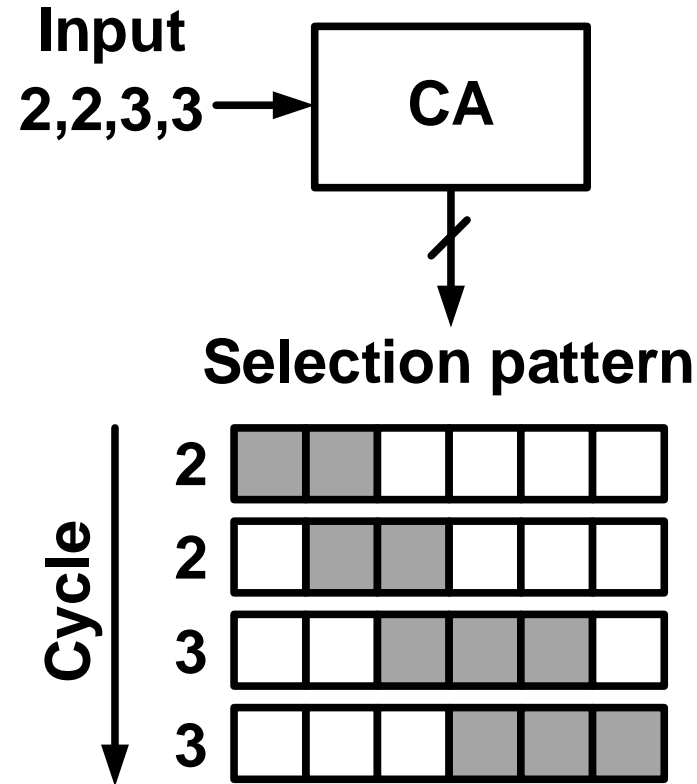
# Digital Loop Filter



$$H_{\text{DLF}}(z) = \frac{\alpha + \beta - \alpha z^{-1}}{1 - z^{-1}}$$

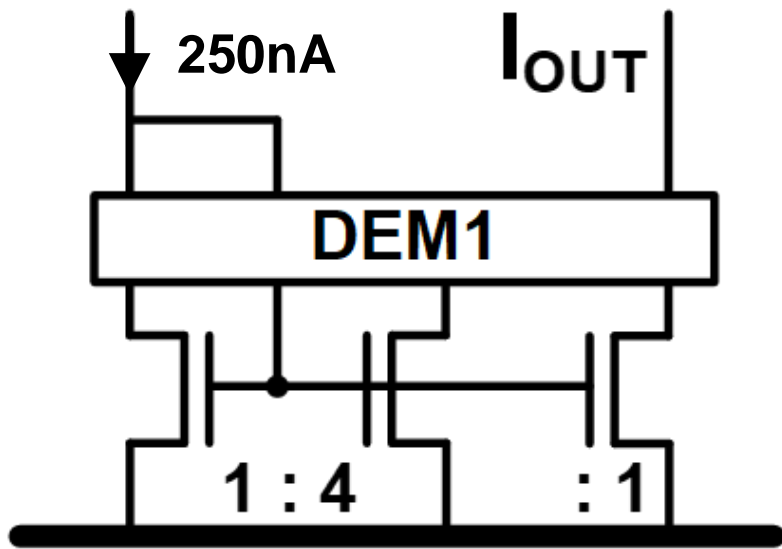
- 매우 큰 DC gain으로  $I_{\text{res}}$  최소화  $\rightarrow$  input-dependent noise modulation 최소화

# Clock-Averaging (CA) DEM

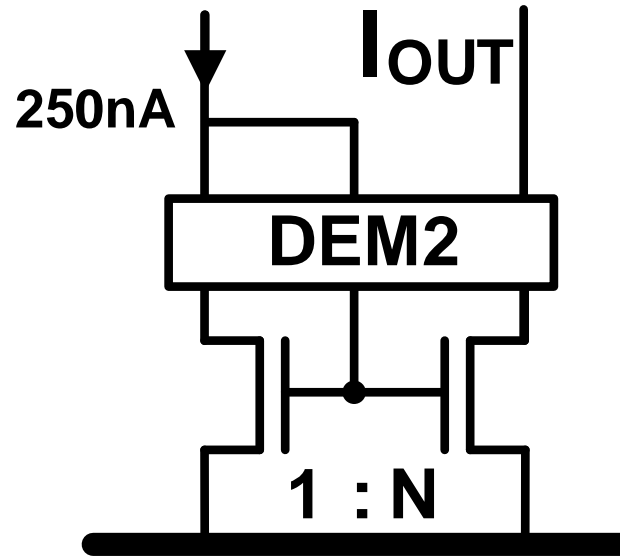


- **Element** 사이의 **mismatch**를 줄이기 위한 기술.
- $1/f$  잡음 완화를 위해 사용될 수 있음.

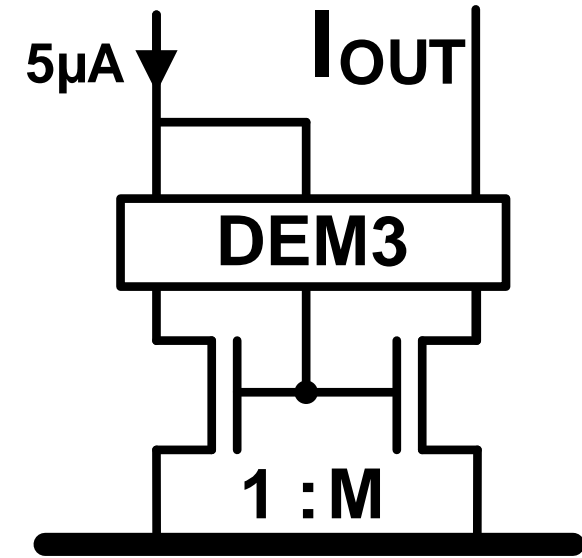
# DEM Scheme Overview



DEM1 for IREF



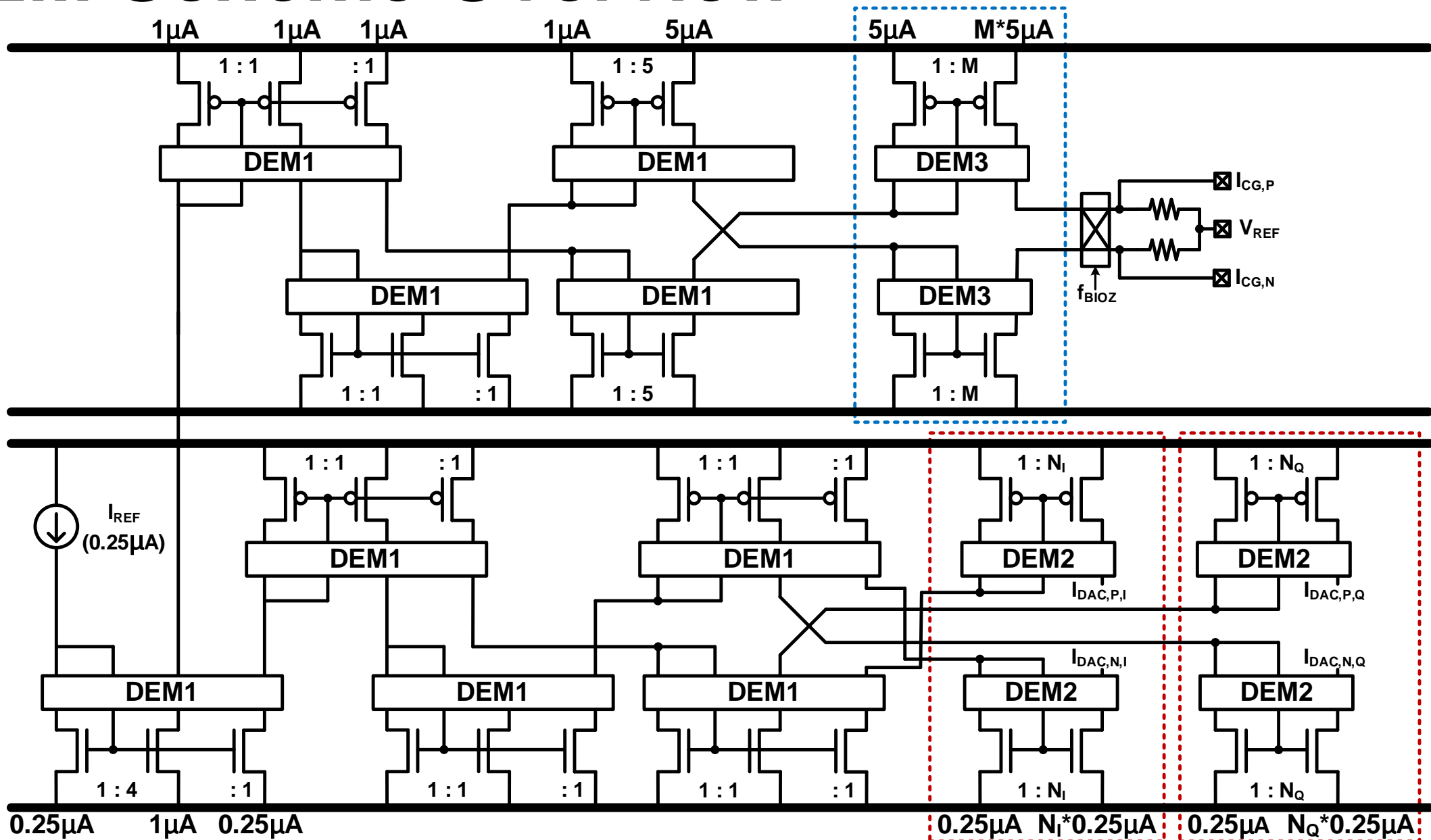
DEM2 for IDAC



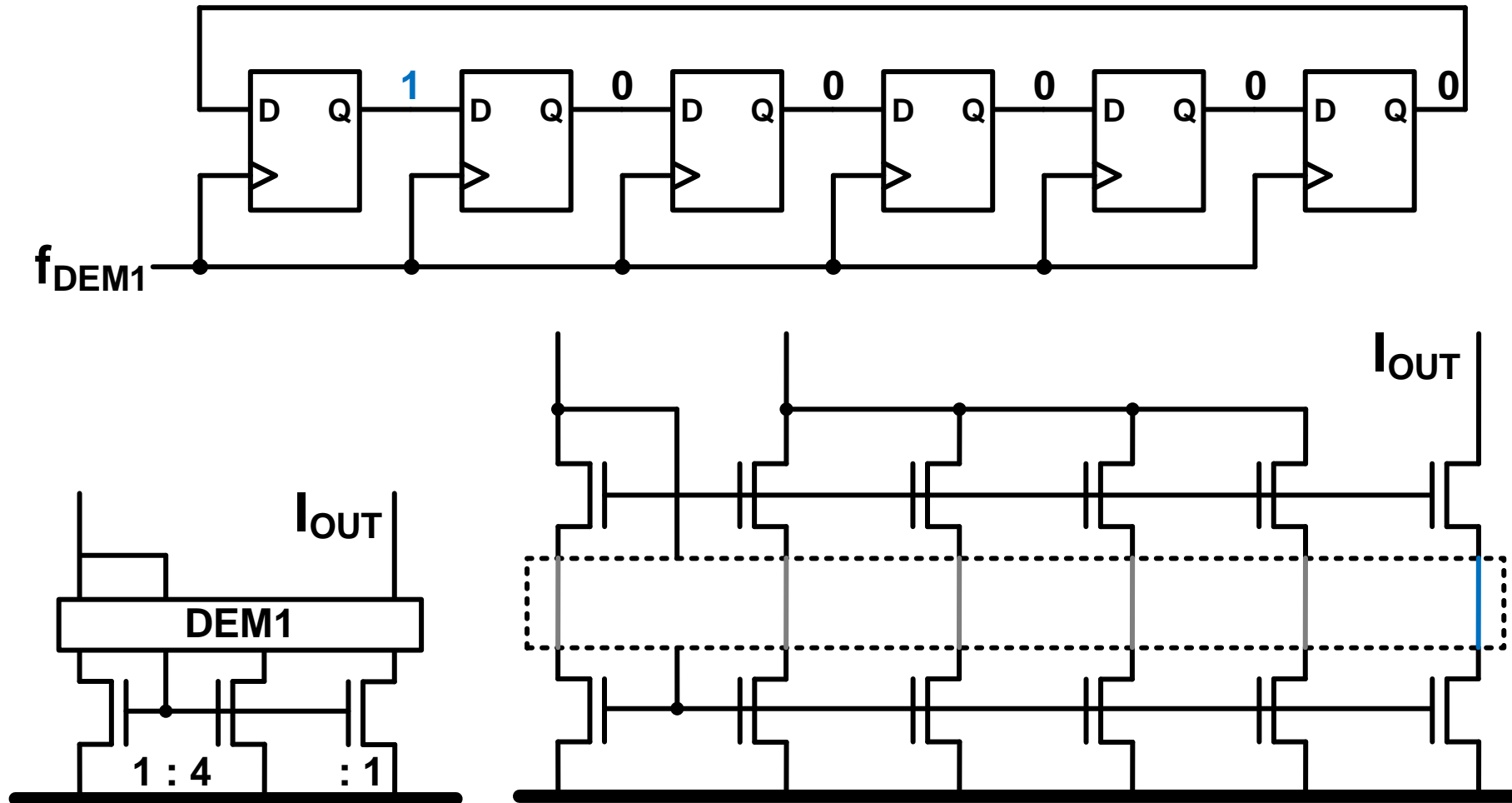
DEM3 for CG

- 1/f 잡음 완화를 위해 **Dedicated DEMs** 사용.

# DEM Scheme Overview

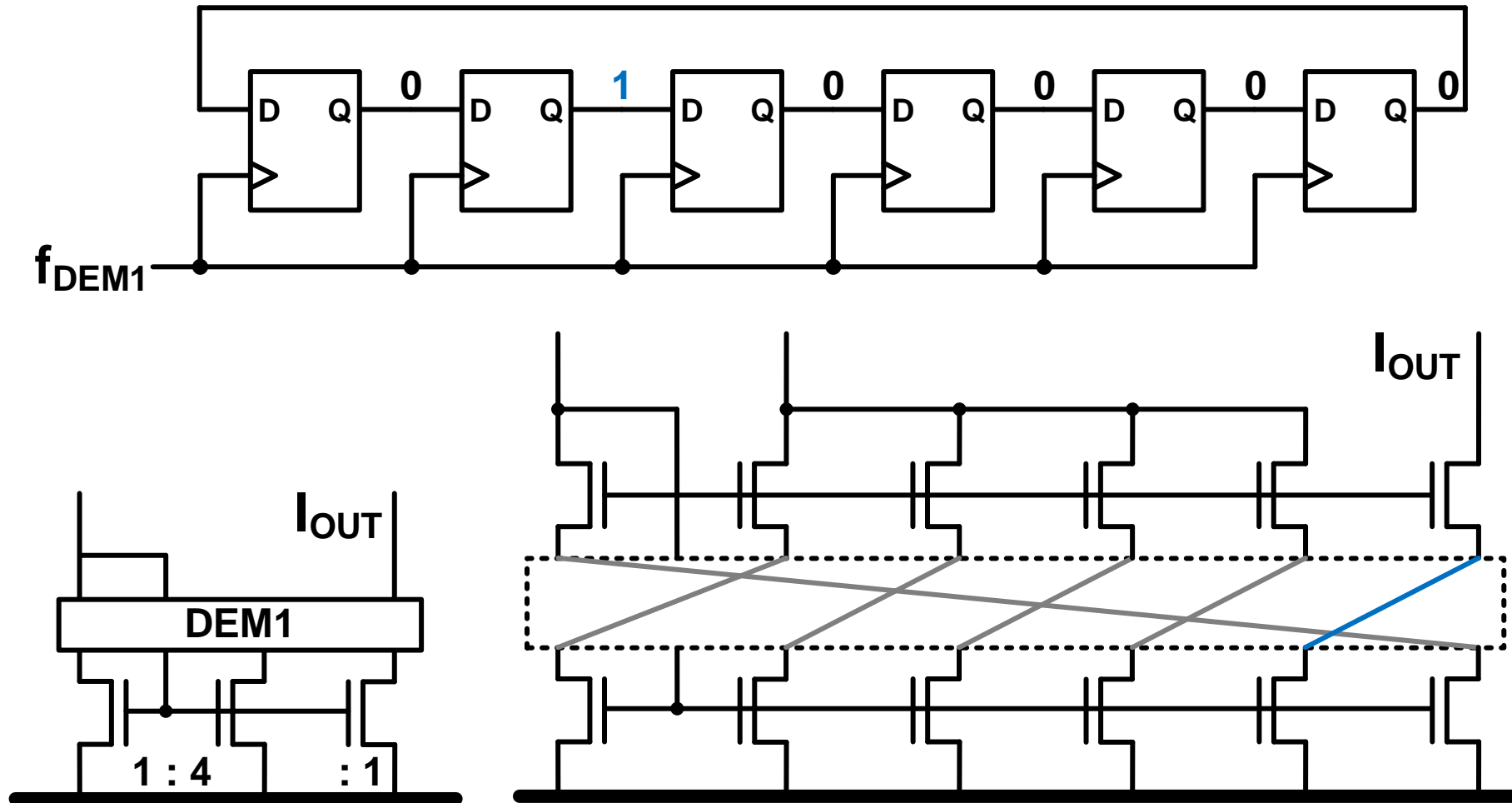


# DEM1-IREF



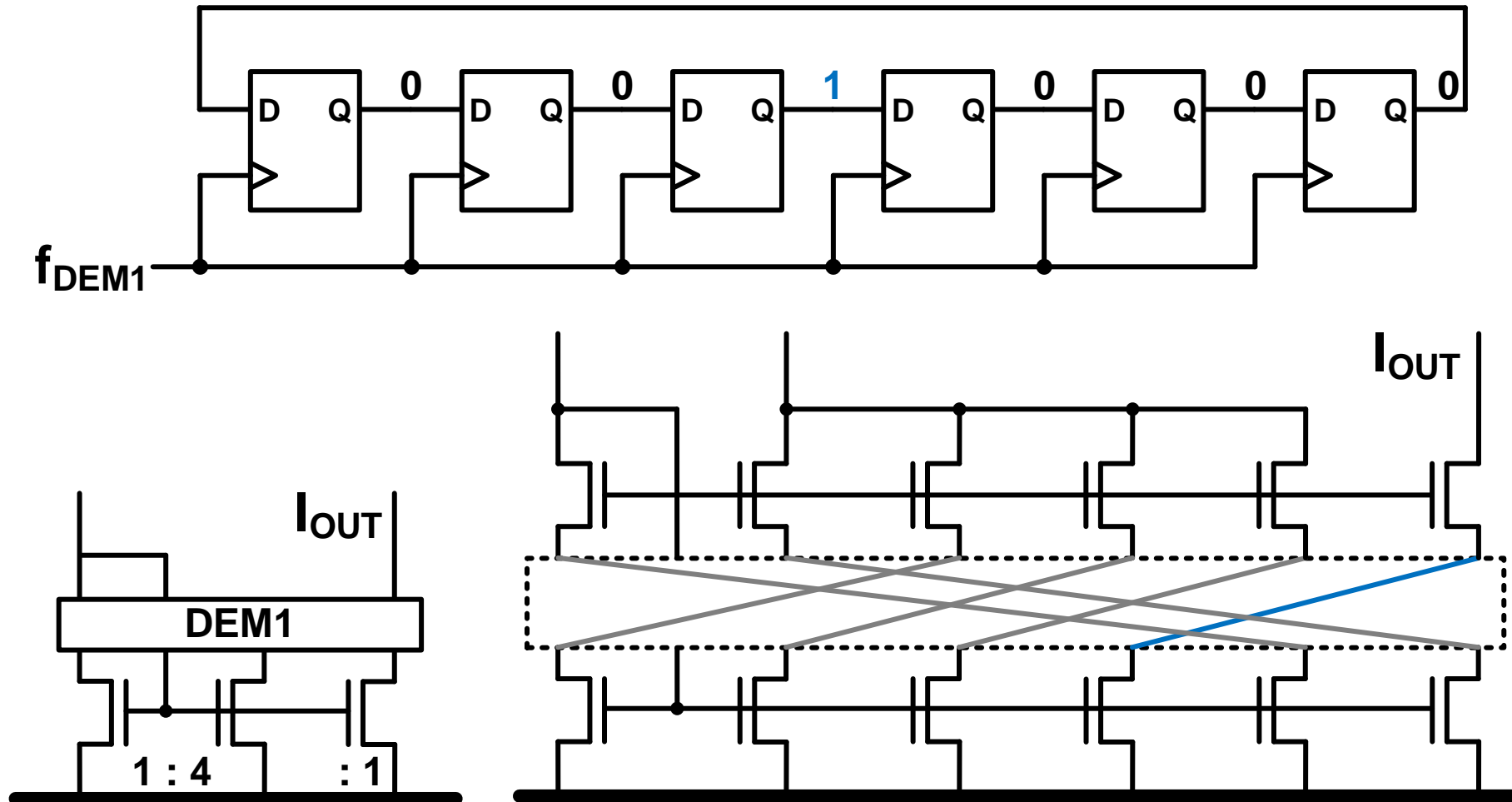
- IREF의  $1/f$  noise를 줄이기 위한 DEM1

# DEM1-IREF



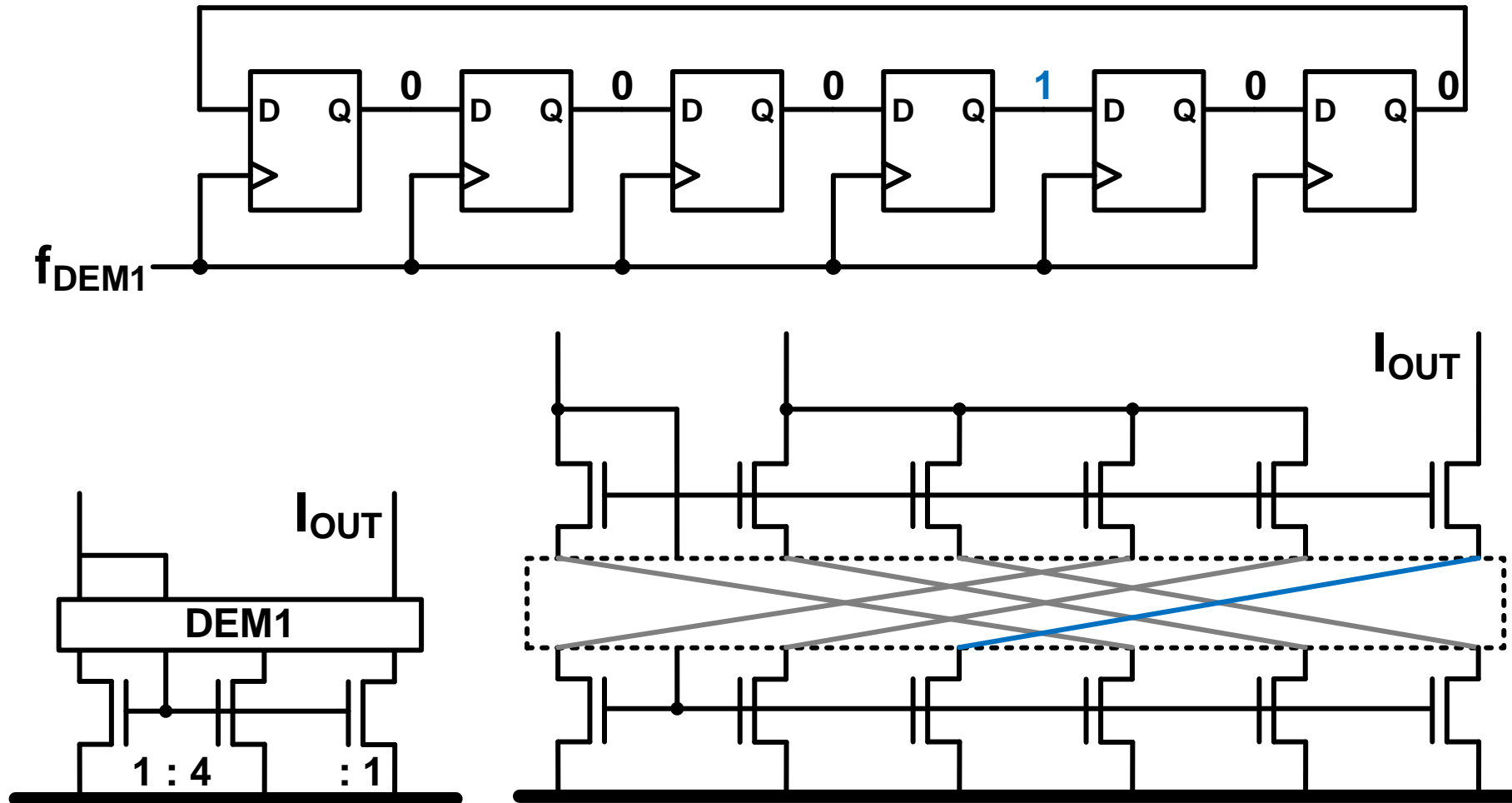
- IREF의  $1/f$  noise를 줄이기 위한 DEM1

# DEM1-IREF



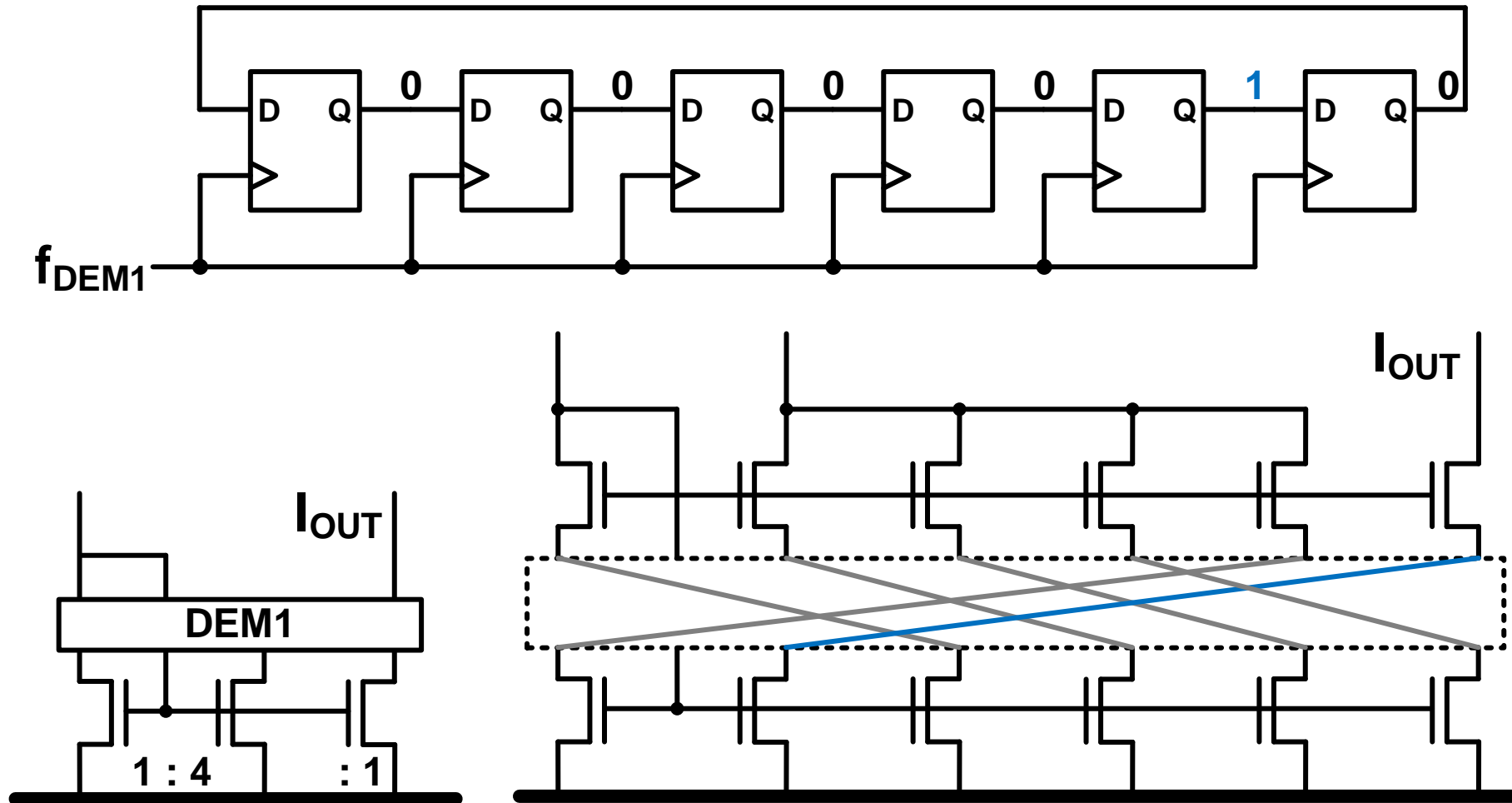
- IREF의  $1/f$  noise를 줄이기 위한 DEM1

# DEM1-IREF



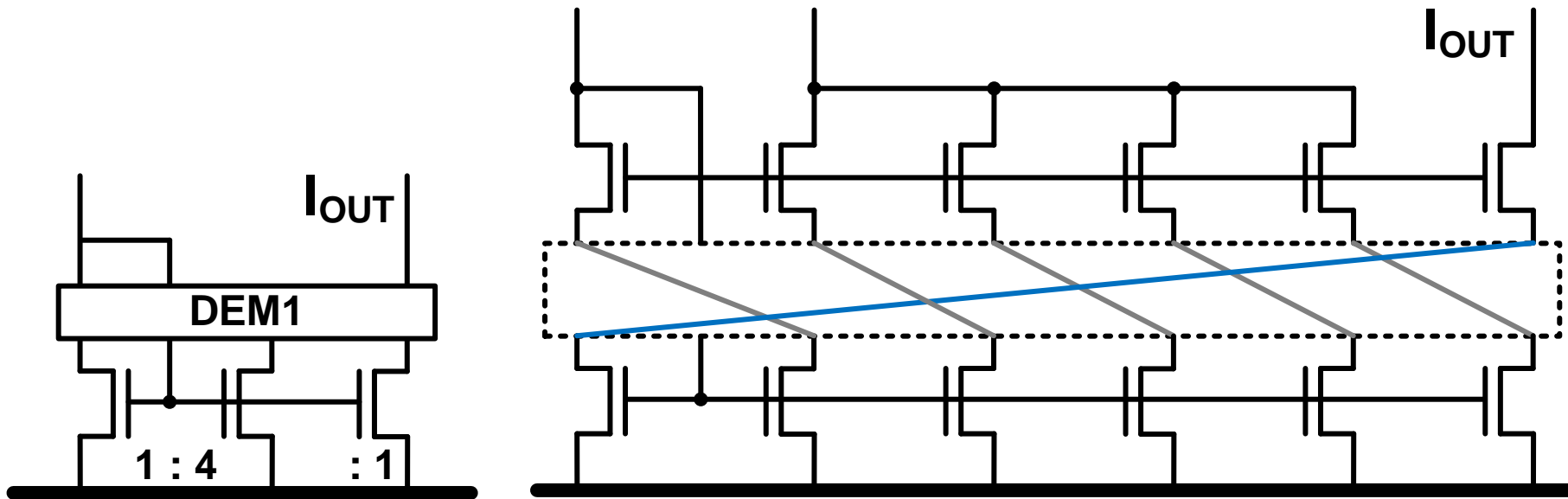
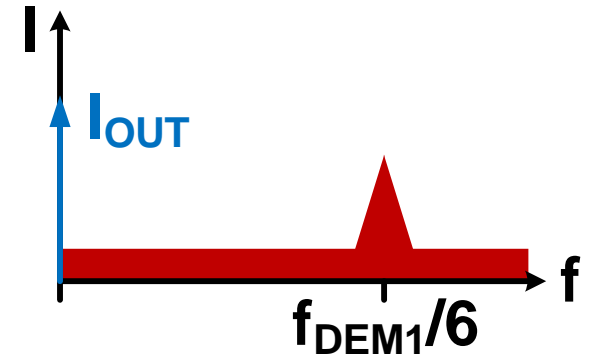
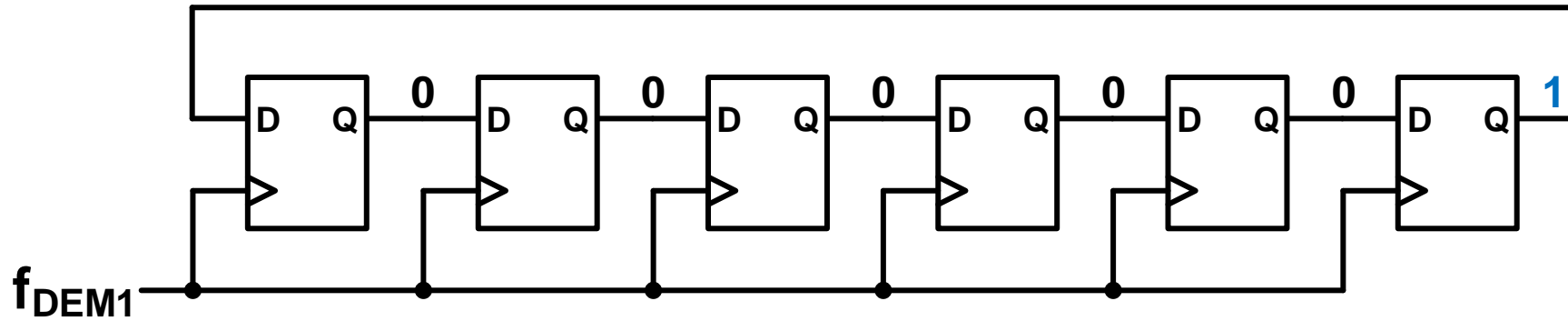
- IREF의  $1/f$  noise를 줄이기 위한 DEM1

# DEM1-IREF



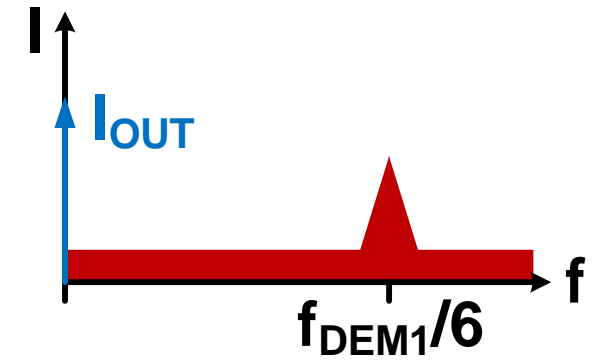
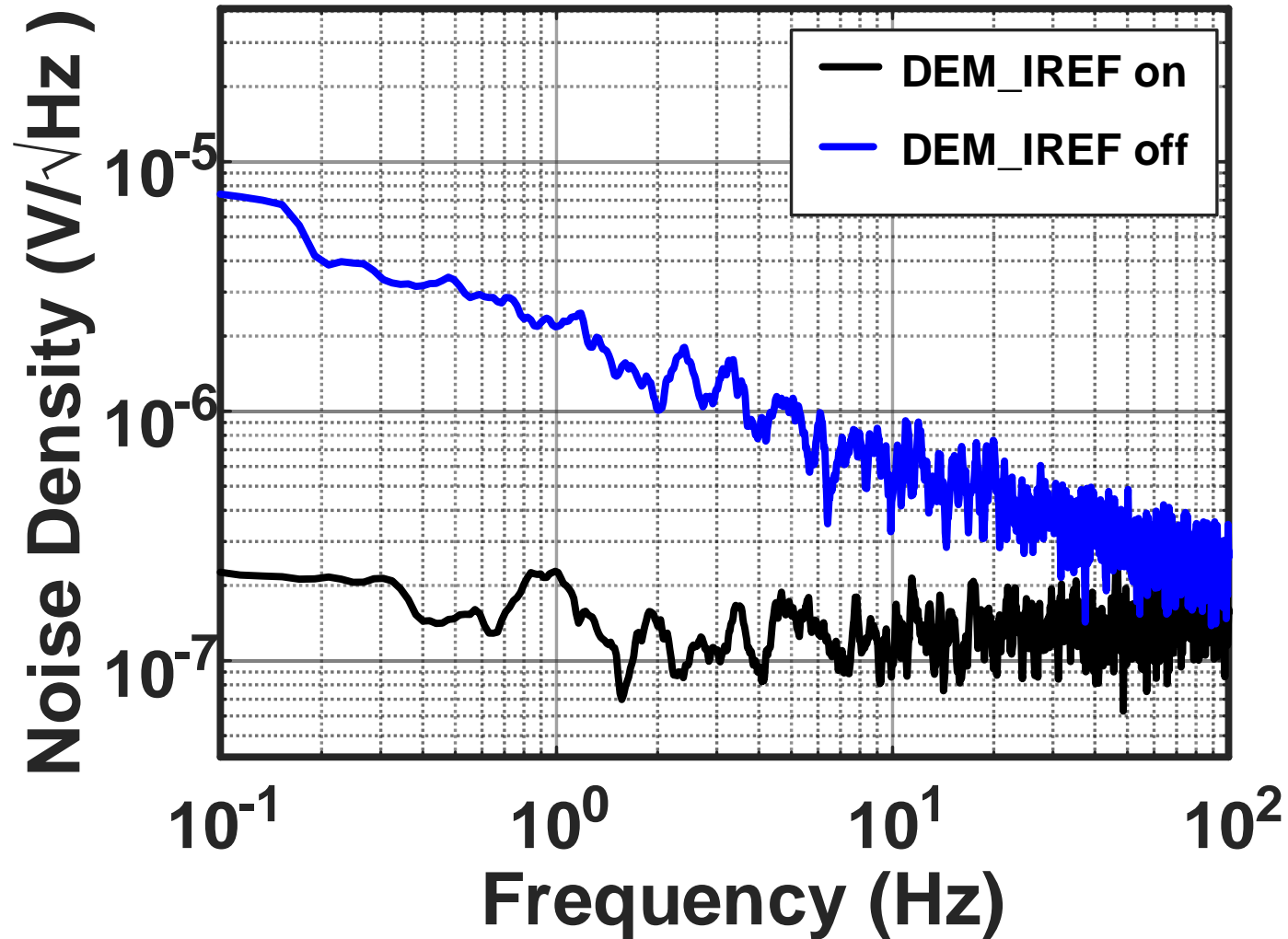
- IREF의  $1/f$  noise를 줄이기 위한 DEM1

# DEM1-IREF

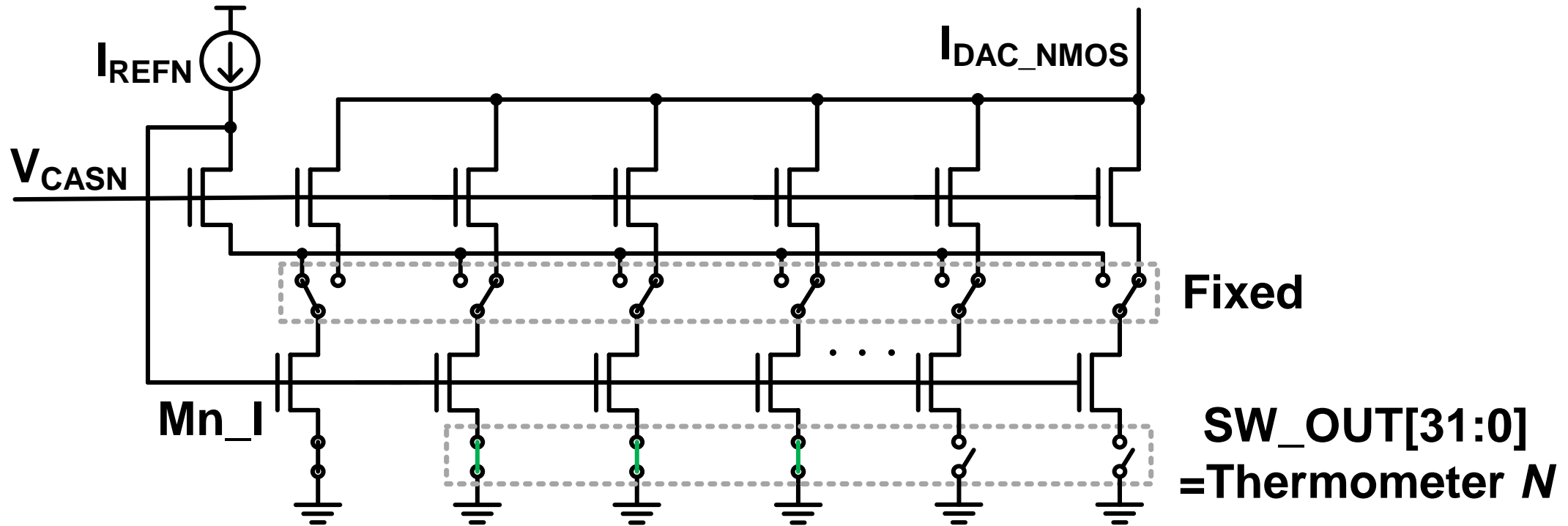


- IREF의  $1/f$  noise를 줄이기 위한 DEM1

# DEM1 for IREF noise mitigation

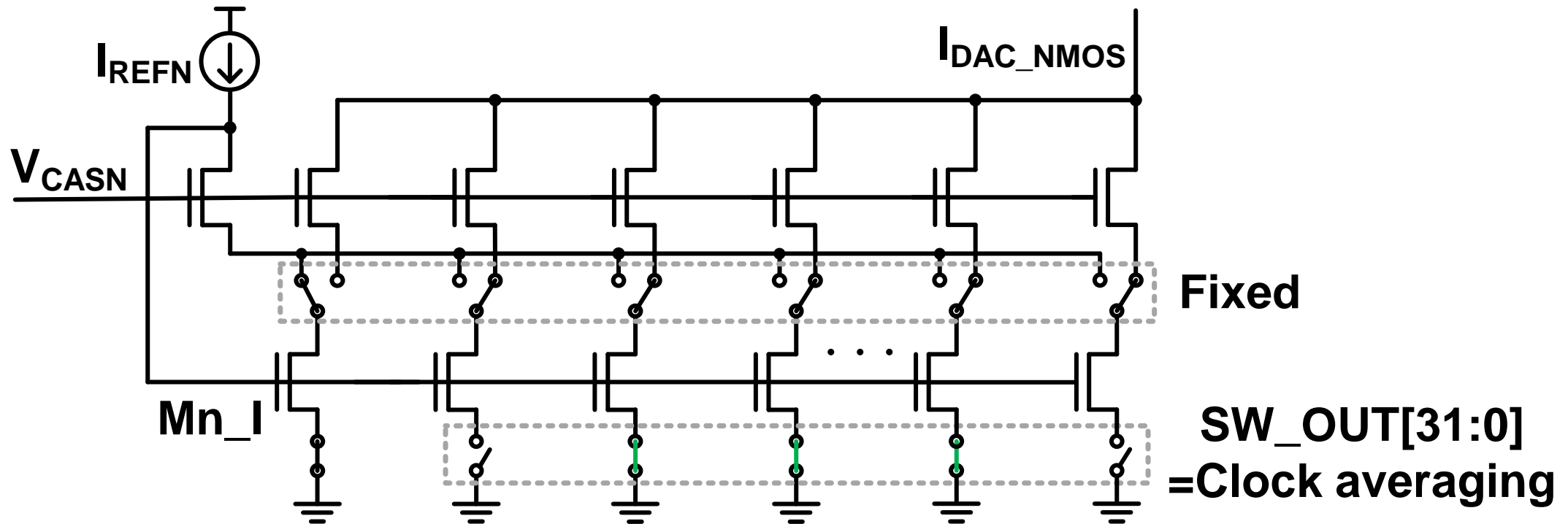


# DEM2-IDAC



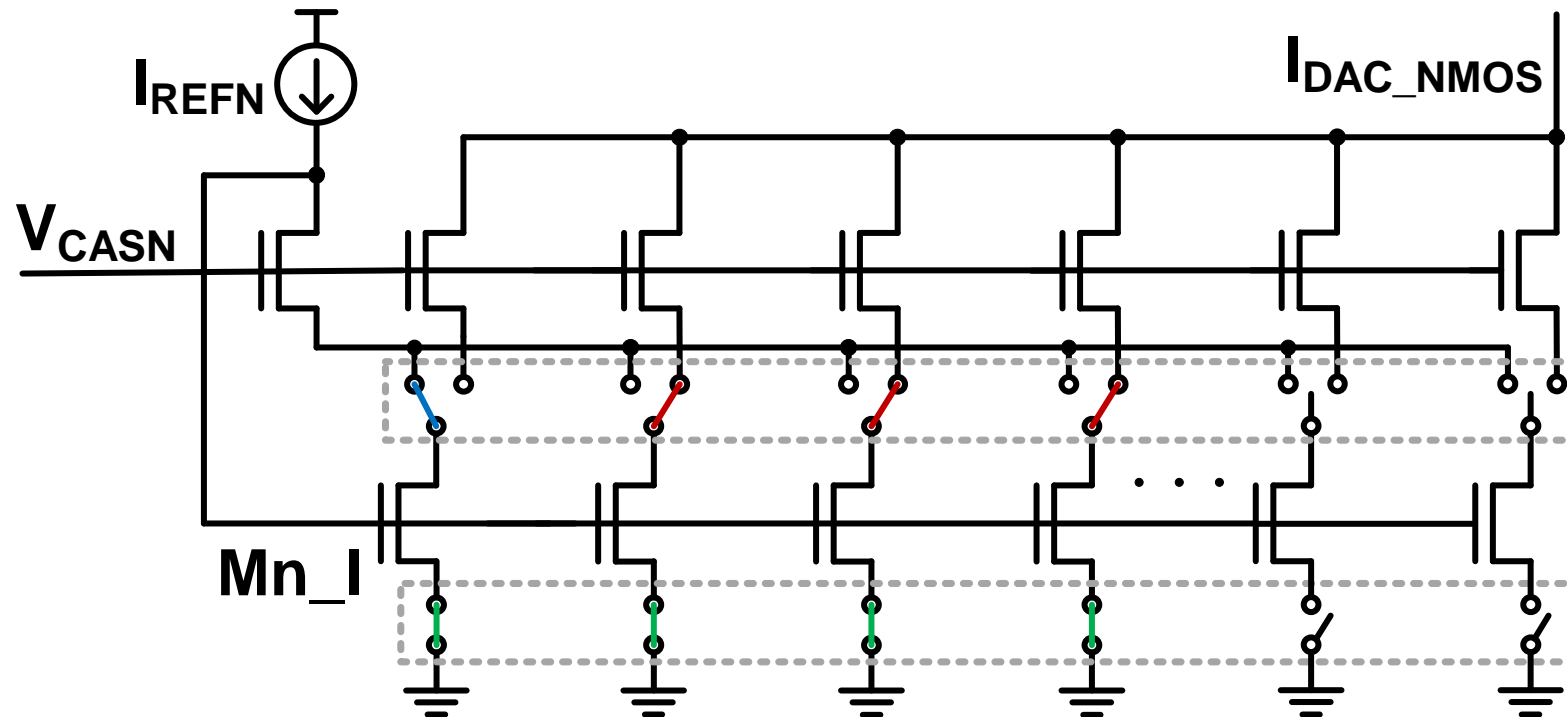
OFF DEM2

# DEM2-IDAC



$Mn\_I$  & cascode transistors 를 제외하고 **ON DEM2**

# DEM2-IDAC

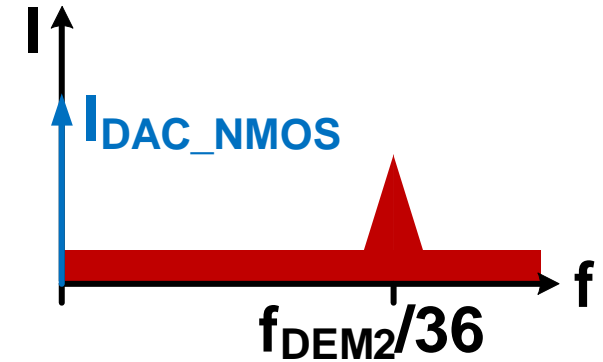
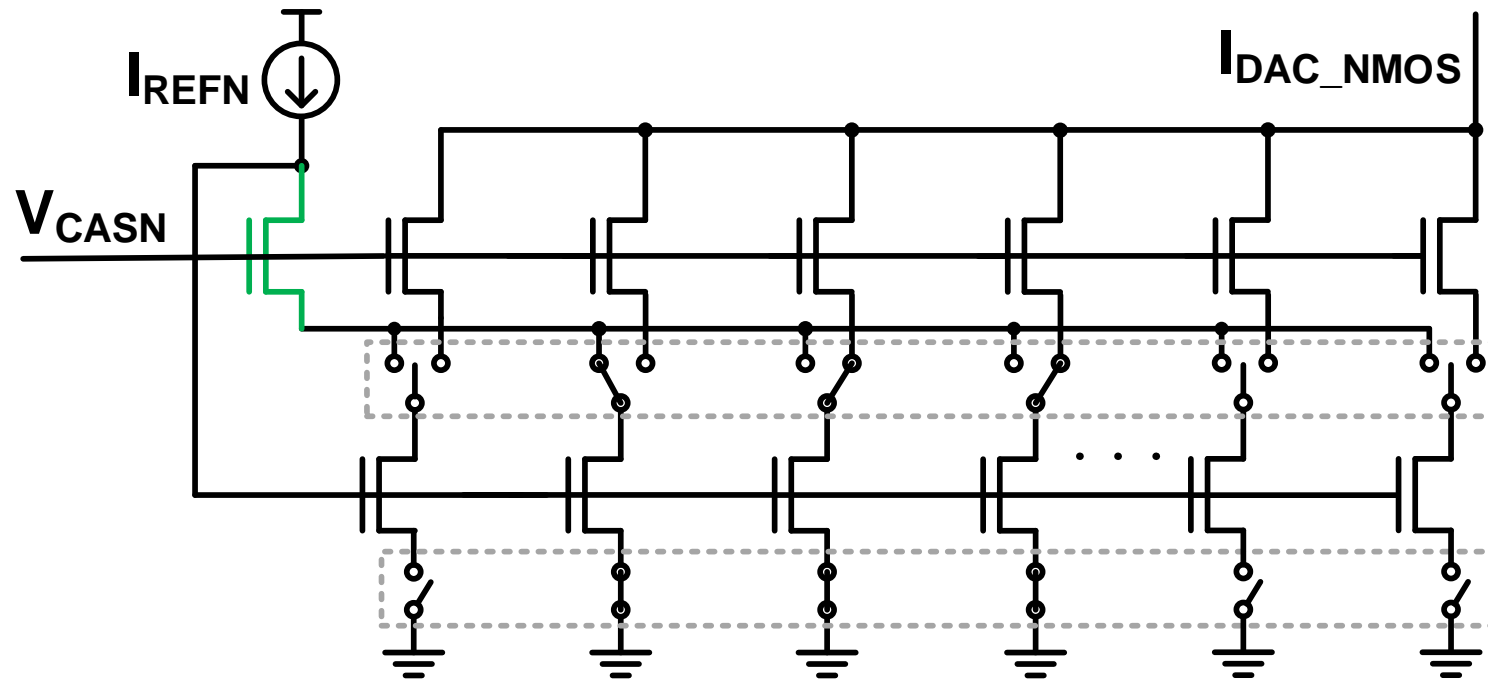


**SW1, SW2[32:0]**  
=Clock averaging w/  $M_{CAS}$

**SW\_OUT[32:0]**  
=Clock averaging w/  $Mn_I$

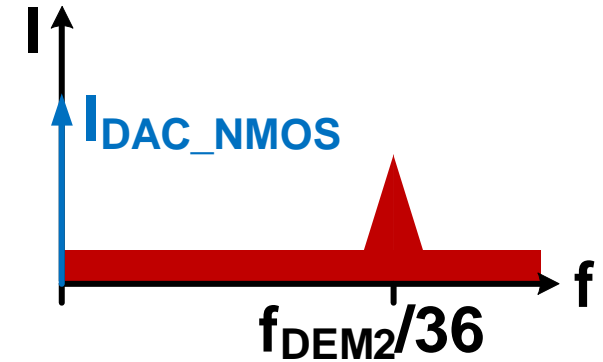
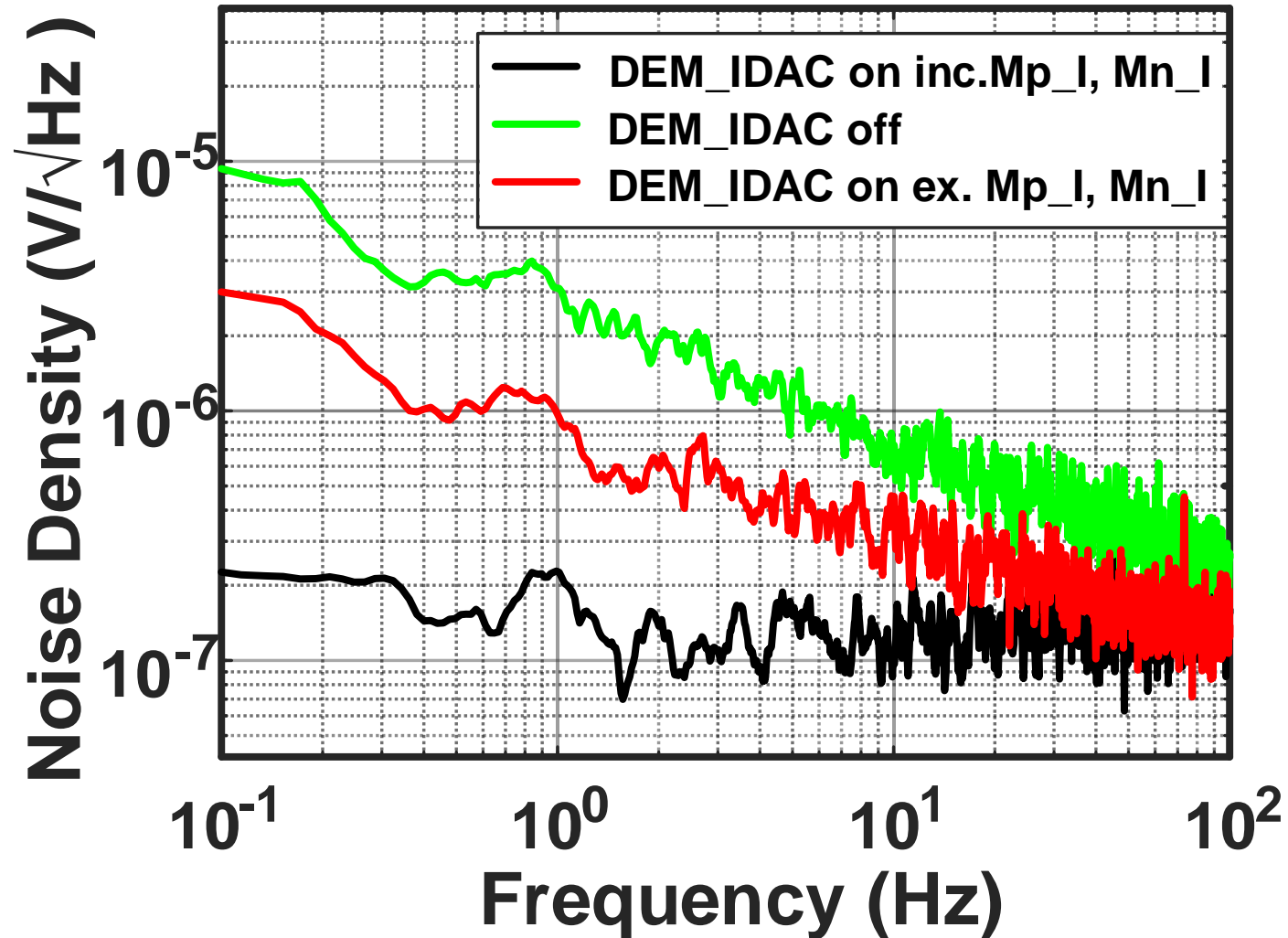
**Mn\_I** & cascode transistors 포함하여 **ON DEM2**

# DEM2-IDAC

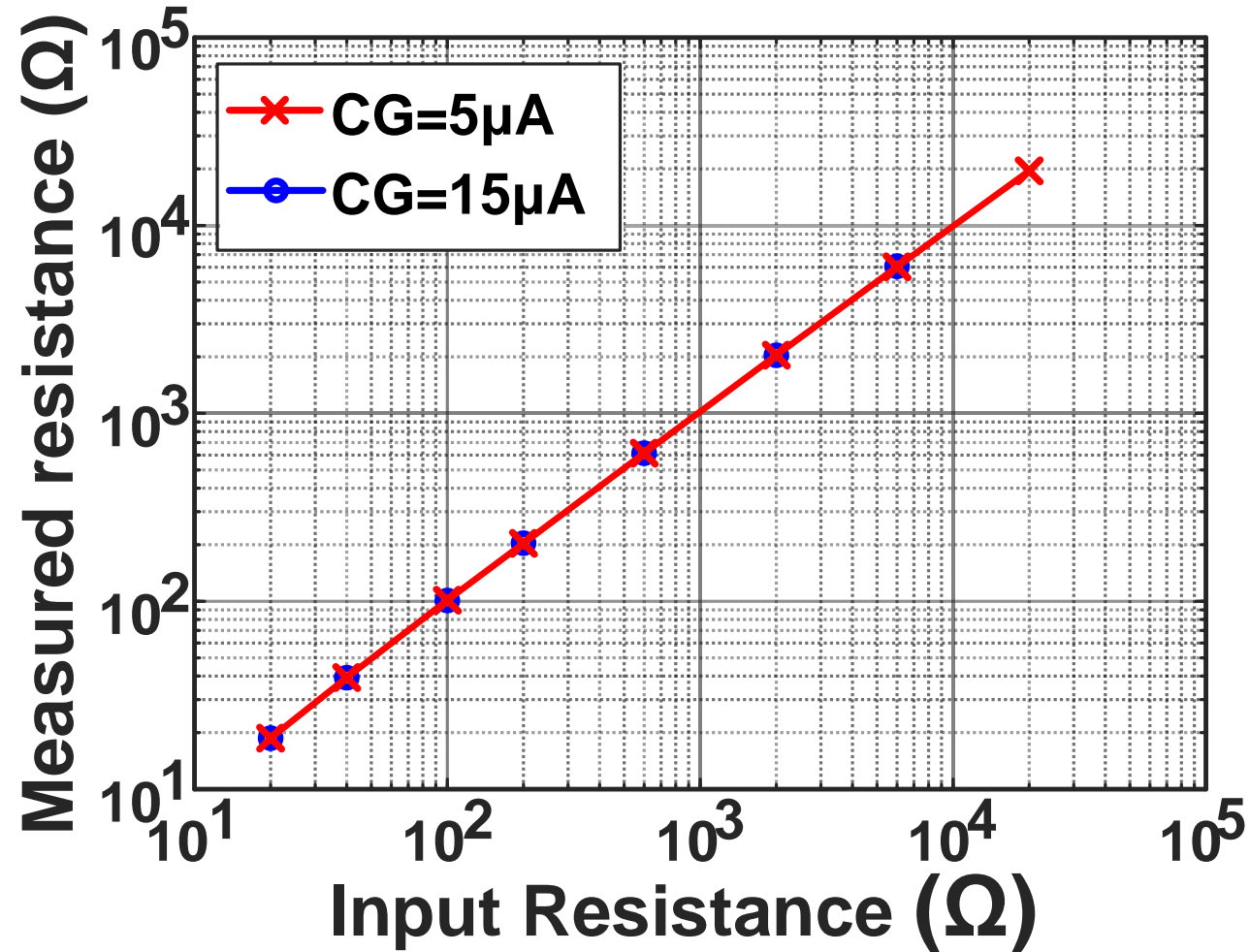


- cascode NMOS (green) 를 제외한 모든  $1/f$  noise가 modulation.
- 총 35 elements (32+1+2 dummy) 구성.

# DEM2 for IDAC noise mitigation

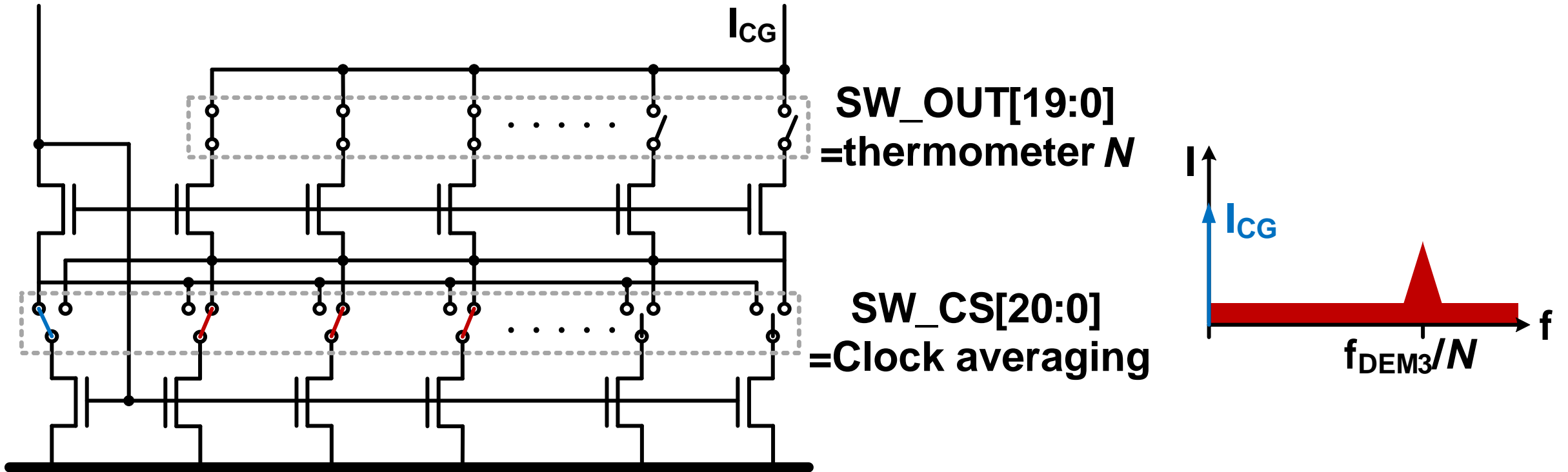


# Linearity Measurement



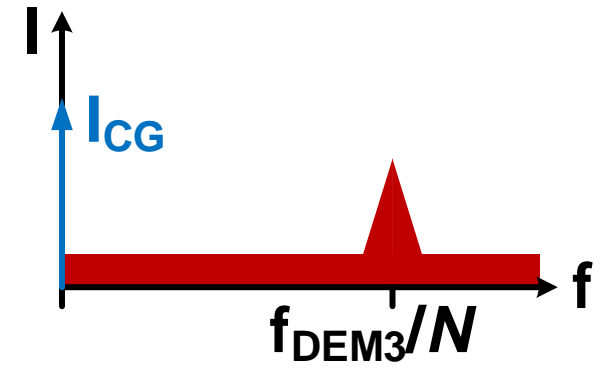
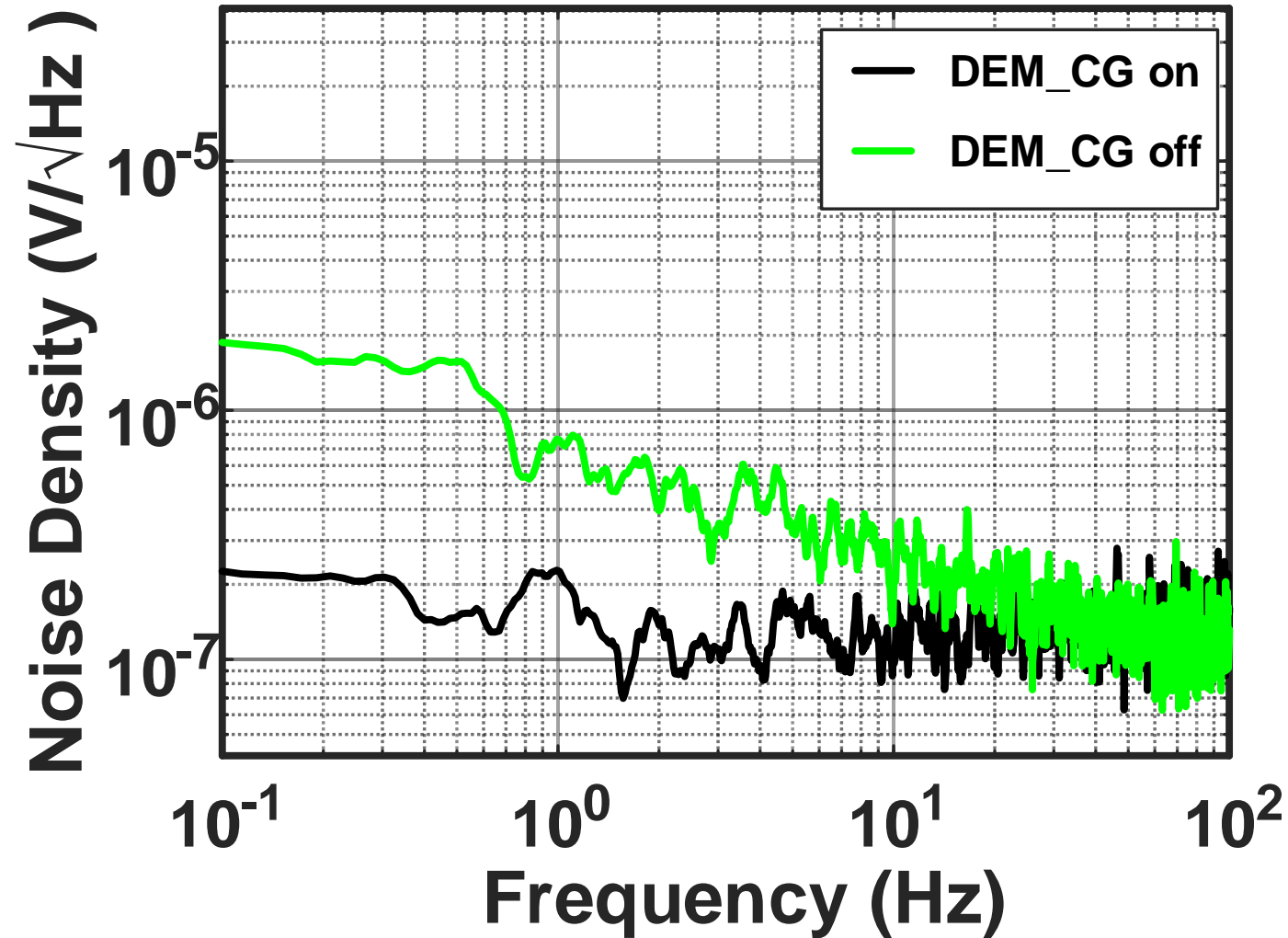
- $R^2 = 0.999919$  @ CG=5  $\mu$ A.  $R^2 = 0.999988$  @ CG=15  $\mu$ A.

# DEM3-CG



- $I_{CG}$  의 출력 전류 크기 ( $N$ ) 가 modulation frequency 결정.

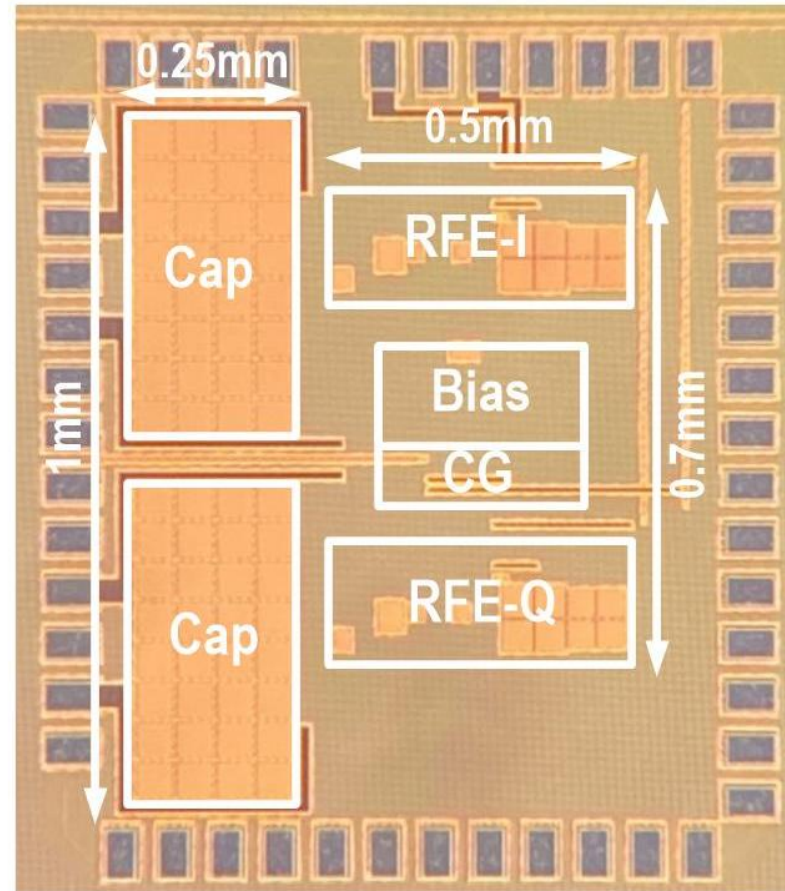
# DEM3 for CG noise reduction



# Outline

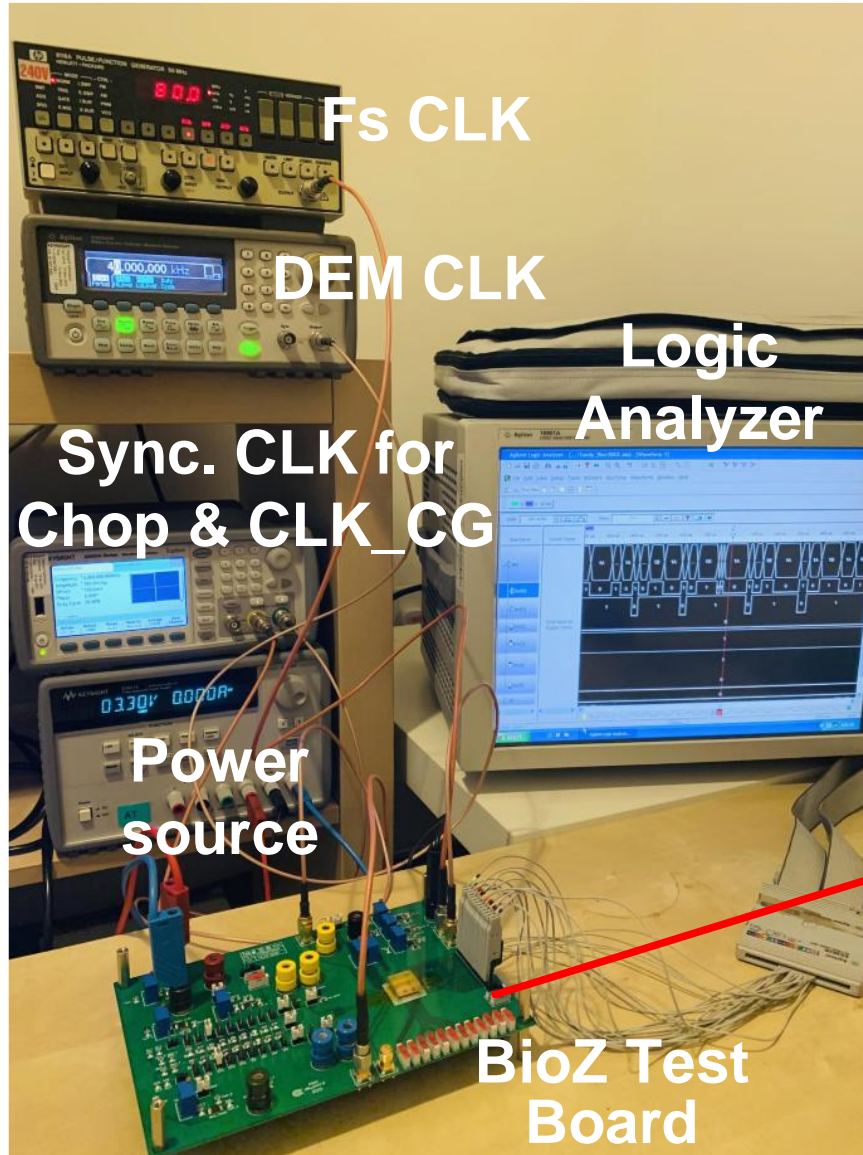
- Motivation
- BioZ Readout Overview
- Proposed BioZ Readout IC
- **Measurement results**
- Conclusions

# Chip Photo and Area

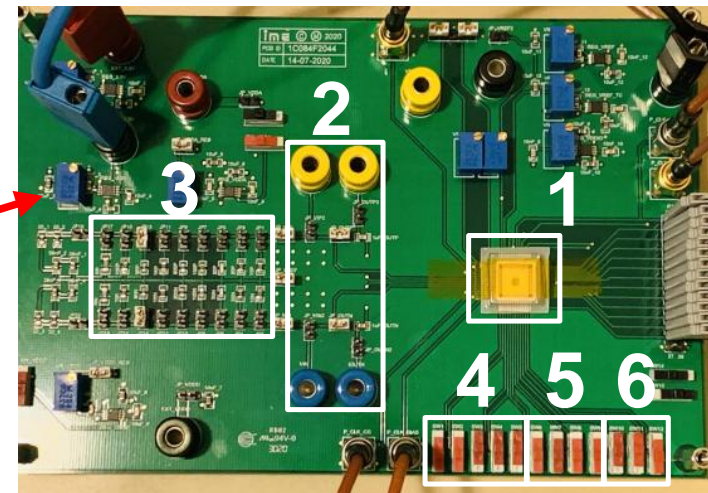


- **40nm CMOS process**
- **Area: 0.6 mm<sup>2</sup>**

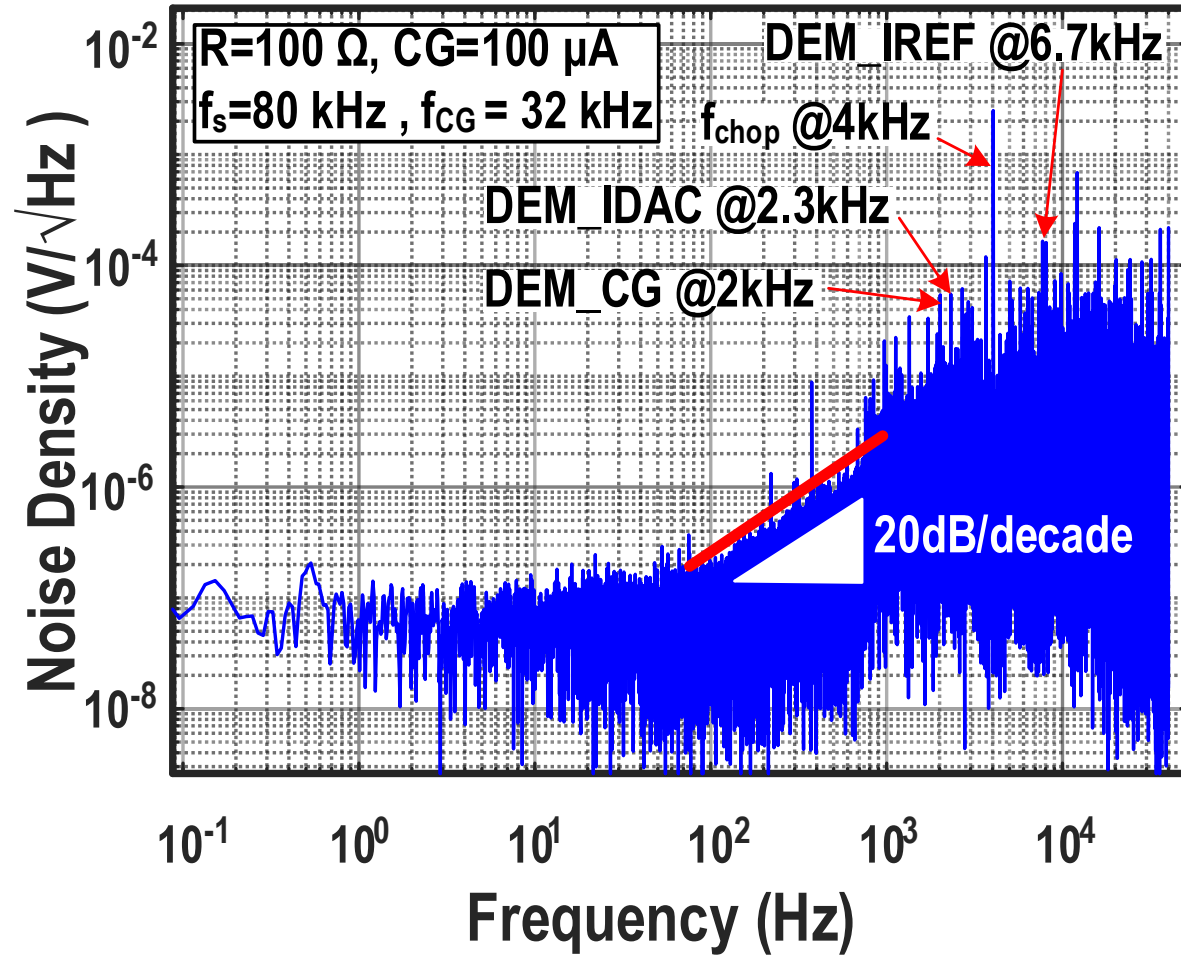
# Setup



1. BioZ Readout IC
2. Pins for 2E & 4E test
3. Resistor bank
4. Digital control for CG
5. DEMs control for IREF, CG, IDAC
6. Control of DLF coefficients

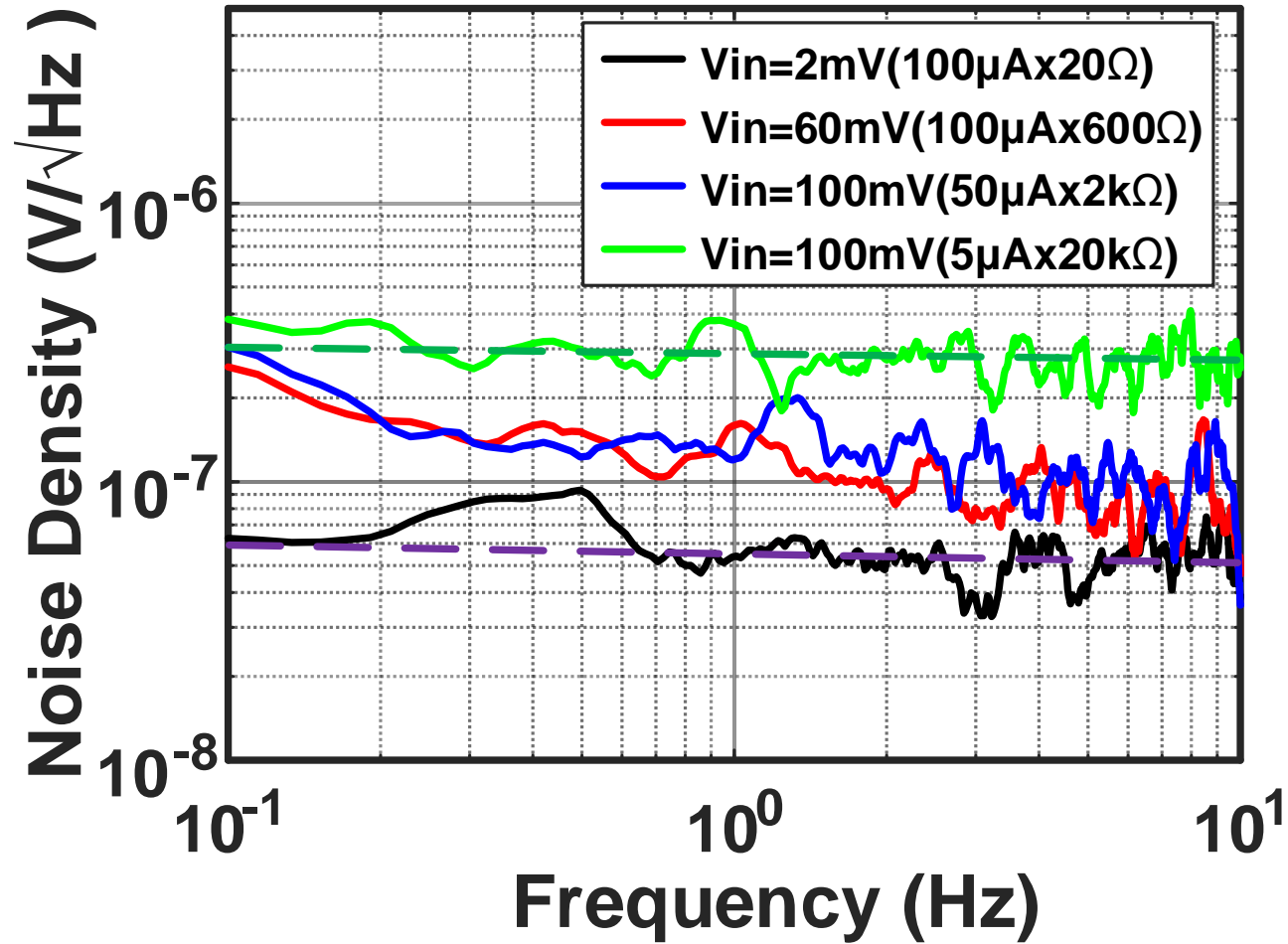


# Noise Spectrum



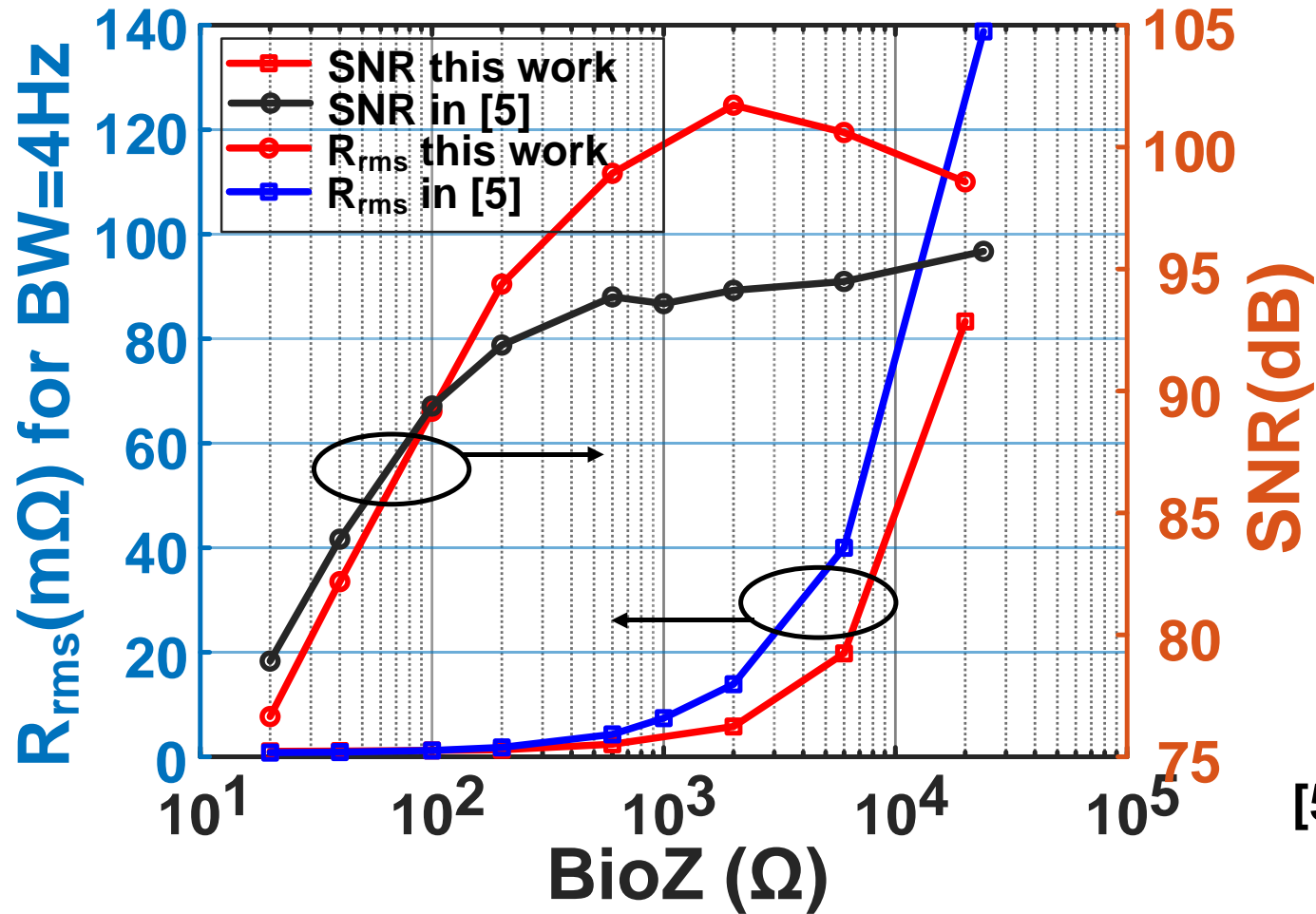
- **<0.1 Hz 1/f noise corner & 1 $\bar{\sigma}$  noise shaping**

# Noise Measurement



$R_{in}$ ( $\Omega$ )	Noise Density @ 1 Hz [ $\text{m}\Omega/\sqrt{\text{Hz}}$ ]	RMS noise (0.1- 4 Hz) [ $\text{m}\Omega_{\text{rms}}$ ]	SNR (dB)
20	0.52	1.04	76.6
40	0.54	1.08	82.3
100	0.62	1.23	89.2
200	0.68	1.35	94.4
600	1.28	2.4	98.9
2k	2.91	5.8	101.7
6k	9.94	19.8	100.6
20k	41.8	83.3	98.6

# Noise & SNR

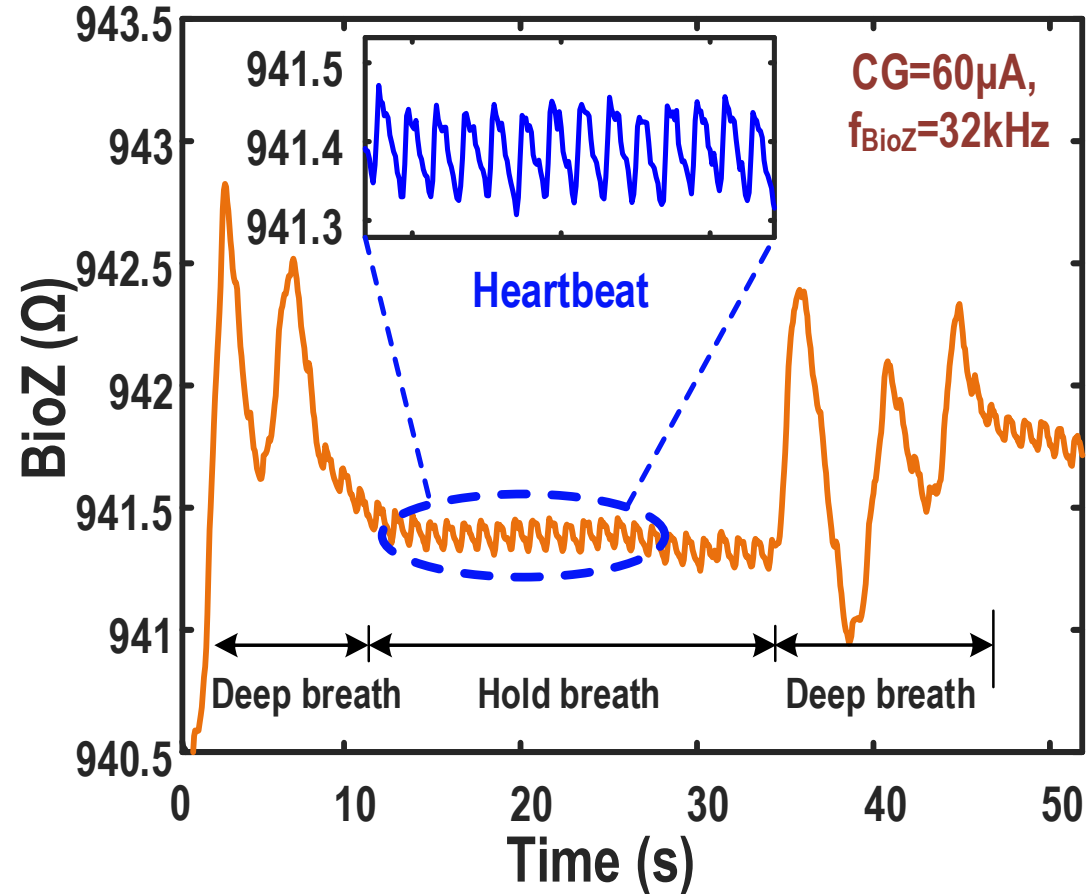
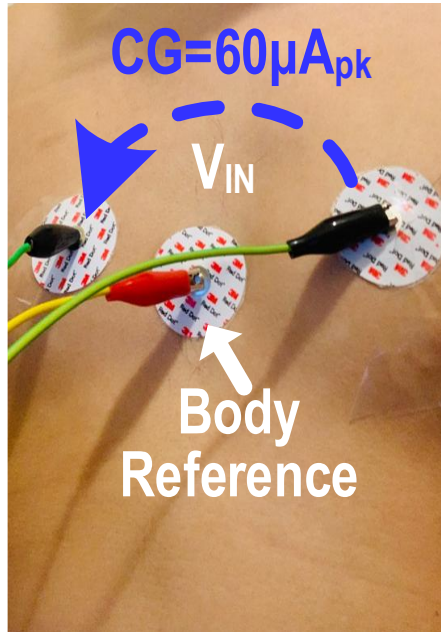


[5] H. Ha, ISSCC 2019

- Max. SNR=101.9 dB

# In-vivo Measurement (2E)

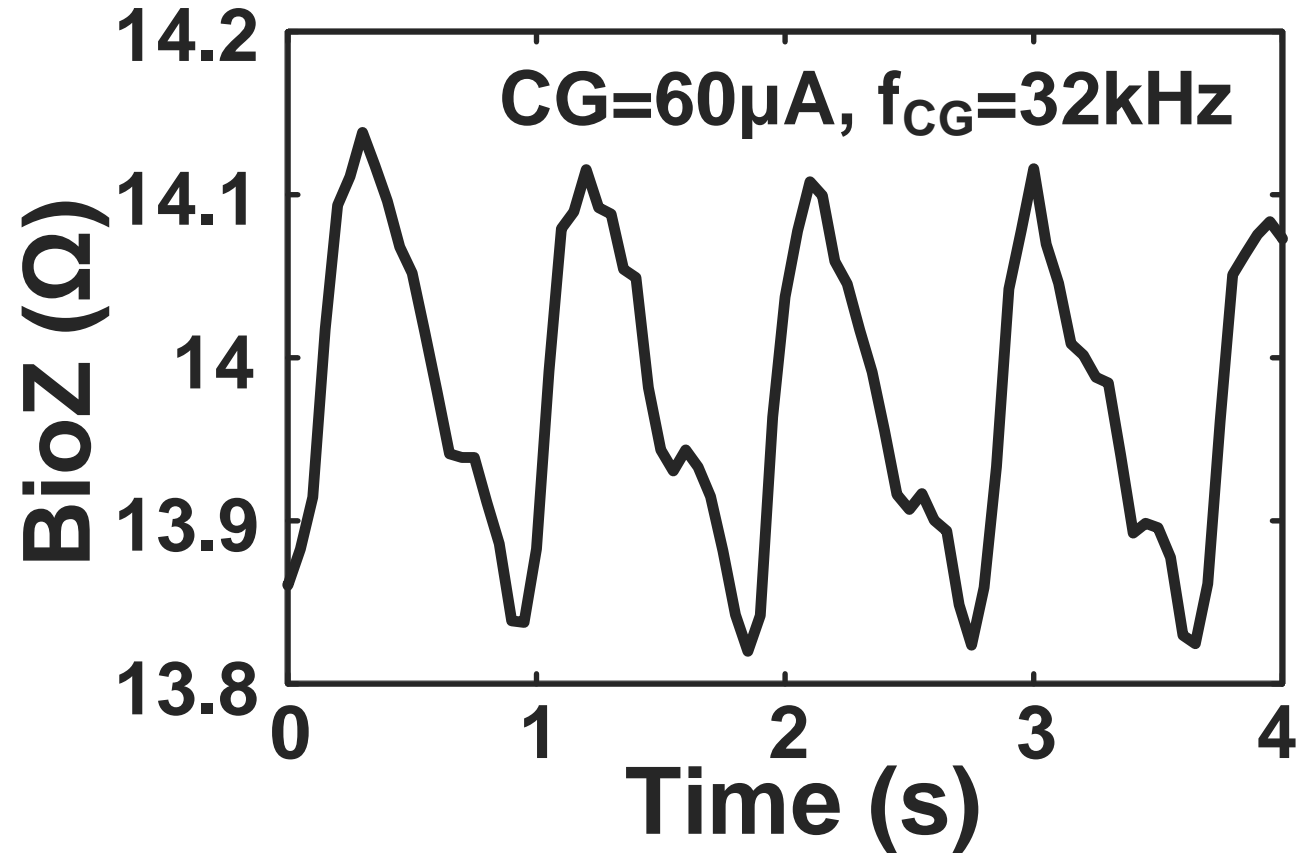
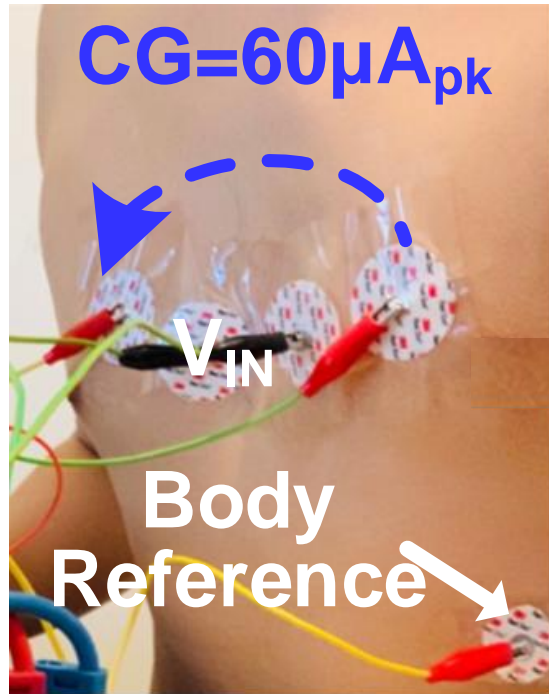
2-Electrode Setup



- 가슴에 2 전극 setup을 통한 호흡 신호 관찰

# In-vivo Measurement (4E)

## 4-Electrode Setup



- 가슴에 4 전극을 통한 심장 박동 관찰.

# Benchmark Table

Parameters	VLSI'17 [2]	JSSC'18 [3]	JSSC'19 [5]	MAX30001	ADS1292R	This work
Tech. ( $\mu\text{m}$ )	0.18	0.13	0.055	N/A	N/A	<b>0.04</b>
Supply (V)	1.2/1.8	1.5/3.5	1.2	N/A	N/A	<b>0.9/0.6</b>
Stimulation signal	Square (I)	Pseudo-sine (I)	Square (I)	Square (I)	Square (V)	<b>Square (I)</b>
Input range (k $\Omega$ )	1	10	24	5.625	10	<b>20</b>
Current magnitude ( $\mu\text{A}_{\text{pk}}$ )	5~100	5~50	5~100	8~96	0~100	<b>5~100</b>
Current frequency (kHz)	1~1024	4~100	1~1024	0.125~131	32~64	<b>1-1024</b>
Noise Density $R_n$ @ 1Hz (m $\Omega$ /sqrt(Hz))	1.1 (R=20 $\Omega$ ) 26 (R=1k $\Omega$ )	0.7 (R<50 $\Omega$ ) 9.5 (R=2k $\Omega$ )	0.4 (R=40 $\Omega$ , 100 $\mu\text{A}_{\text{pk}}$ ) 7 (R=2k $\Omega$ , 60 $\mu\text{A}_{\text{pk}}$ )	40 <sup>a</sup> (R=680 $\Omega$ )	40 <sup>a</sup> (R=2k $\Omega$ )	<b>0.52 (R=20<math>\Omega</math>, 100<math>\mu\text{A}_{\text{pk}}</math>) 2.9 (R=2k<math>\Omega</math>, 50<math>\mu\text{A}_{\text{pk}}</math>)</b>
$\text{SNR}_{\text{max}}$ (dB) <sup>b</sup> (BW=4 Hz)	76.6	91.4	95.7	78.6	87.9	<b>101.9</b>
Power ( $\mu\text{W}$ ) of Readout	18.7	89 <sup>d</sup>	18.9 ~34.9	N/A	N/A	<b>8.8~16</b>
Power ( $\mu\text{W}$ ) of CG	54~229	56~95	31~154.7	N/A	N/A	<b>17.8 ~ 103.3</b>
Power ( $\mu\text{W}$ )	72.7~247.7	145~184	49.9~189.6	320	335	<b>26.6~119.3</b>
Area (mm <sup>2</sup> )	0.88	0.96	0.74	N/A	N/A	<b>0.6</b>
FoM (dB) <sup>c</sup>	124.5	135.6	143.5	119.6	128.6	<b>152.6</b>

<sup>a</sup> Peak-to-peak value

<sup>b</sup>  $\text{SNR}_{\text{max}} = \max(R/R_{\text{rms}})$  where  $R_{\text{rms}} = R_n \cdot \sqrt{\text{BW}}$  or  $R_{\text{pp}}/\sqrt{2}$

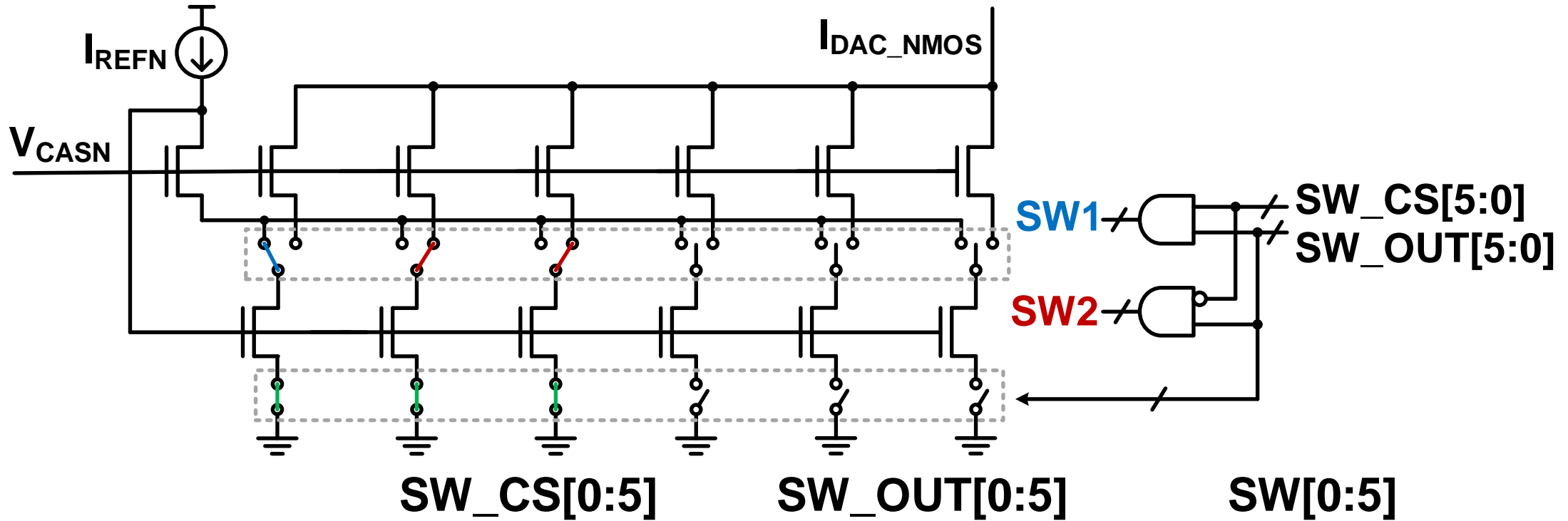
<sup>c</sup>  $\text{FoM} = \text{SNR}_{\text{max}} + 10 \cdot \log(\text{BW}/\text{Power})$  where power is the sum of max. in readout and min. in CG

# Conclusion

- **2E & 4E setup**을 위한  $\Delta\Sigma$ 기반의 **BioZ** 판독회로
  - 고 해상도를 위한 1차 noise-shaping + DLF
  - 1/f noise 완화를 위한 dedicated DEM schemes 사용
- **state-of-the-art performance 달성**
  - 101.9 dB의 최대 SNR과 20k $\Omega$ 의 넓은 입력 범위
  - <0.1 Hz 1/f noise corner
  - 0.6V/0.9V 전압에서 8.8–16  $\mu$ W 전력 소모
- **in-vivo test** 통한 시연

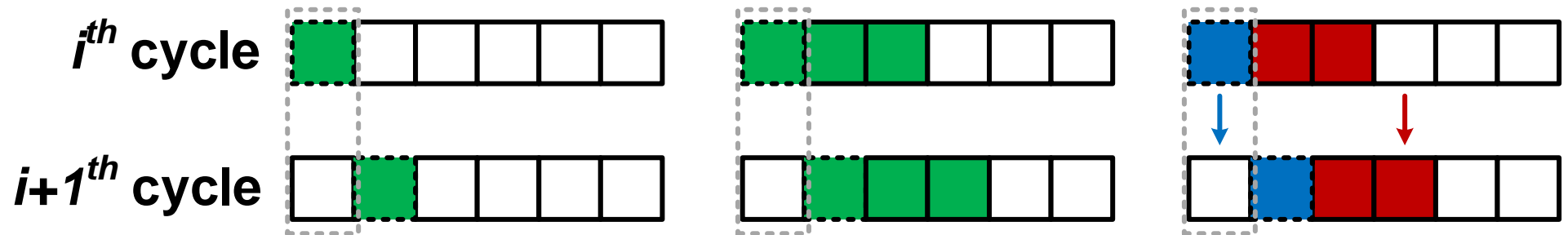
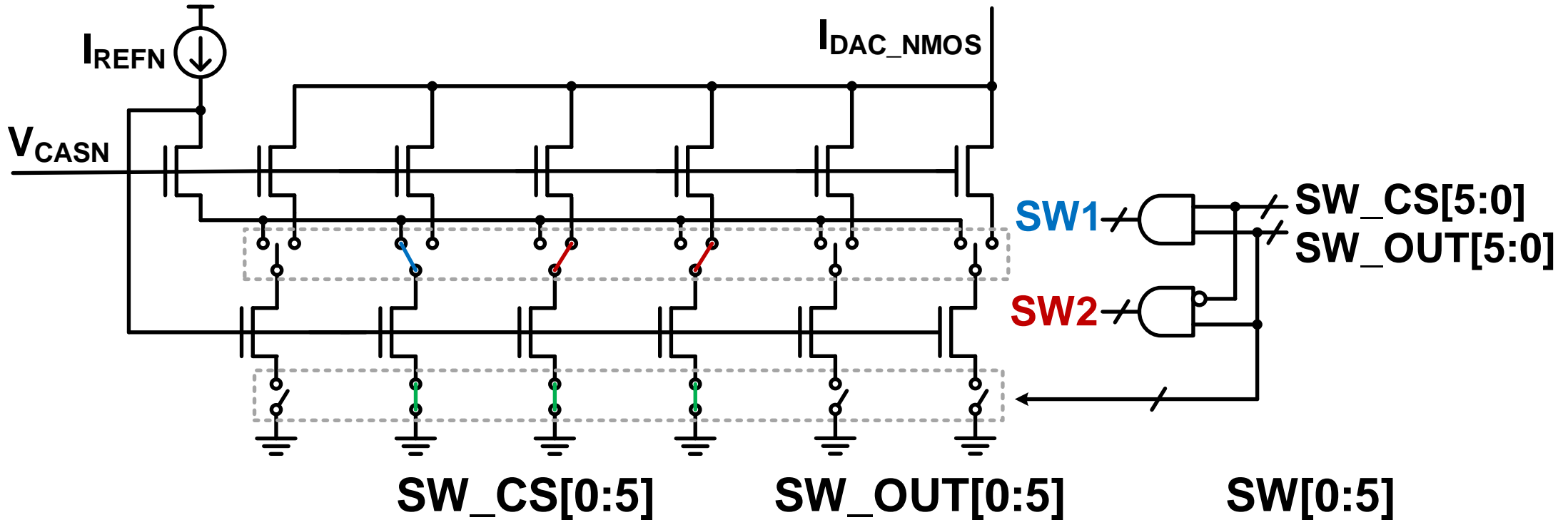
# DEM2-IDAC

Example: 5 IDACs



# DEM2-IDAC

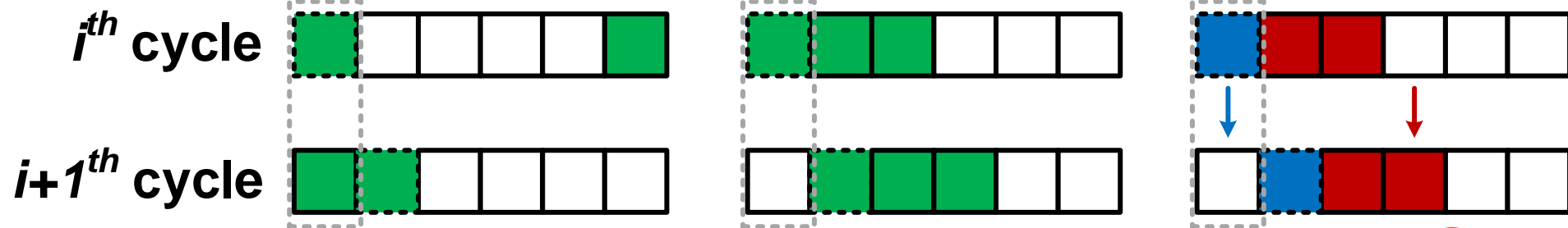
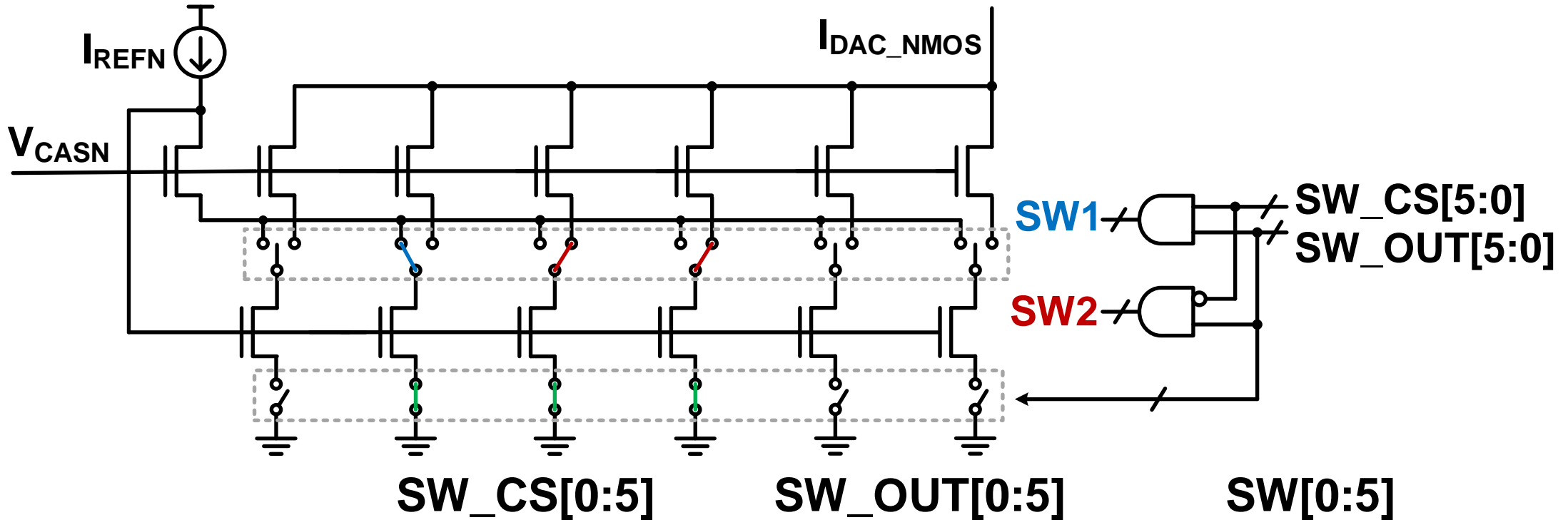
Example: 5 IDACs



- $SW\_CS$  &  $SW\_OUT$  두 신호 모두가 current source의 off timing 결정. ☹️

# DEM2-IDAC

Example: 5 IDACs



- 오직  $SW\_OUT$  신호가 current source의 off timing 결정. 😊